

Trabajo Fin de Grado Ingeniería Aeroespacial

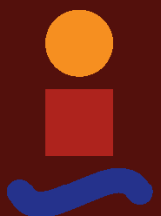
Software de modelado de filtros EMI mediante algoritmos de búsqueda avanzados

Autor: Álvaro Romero Muñiz

Tutor: Joaquín Bernal Méndez

Dpto. Física Aplicada III
Escuela Técnica Superior de Ingeniería
Universidad de Sevilla

Sevilla, 2020



Trabajo Fin de Grado
Ingeniería Aeroespacial

Software de modelado de filtros EMI mediante algoritmos de búsqueda avanzados

Autor:

Álvaro Romero Muñiz

Tutor:

Joaquín Bernal Méndez

Profesor Titular

Dpto. Física Aplicada III
Escuela Técnica Superior de Ingeniería
Universidad de Sevilla

Sevilla, 2020

Trabajo Fin de Grado: Software de modelado de filtros EMI
mediante algoritmos de búsqueda avanzados

Autor: Álvaro Romero Muñiz
Tutor: Joaquín Bernal Méndez

El tribunal nombrado para juzgar el trabajo arriba indicado, compuesto por los siguientes profesores:

Presidente:

Vocal/es:

Secretario:

acuerdan otorgarle la calificación de:

El Secretario del Tribunal

Fecha:

Resumen

En este trabajo se muestra el desarrollo de una interfaz gráfica de usuario (GUI) para modelar el comportamiento de filtros EMI en un amplio rango de frecuencias. Se parte de un modelo de circuitos de parámetros localizados del filtro EMI validado en el rango de frecuencias en el que la mayor parte de las normas de compatibilidad electromagnética exigen la medida de emisiones conducidas de los equipos. Este modelo incorpora efectos parásitos como las inducciones parásitas de condensadores, las capacidades parásitas de los elementos inductivos y el acople magnético entre componentes, que se ha demostrado que determinan en gran medida la respuesta real del filtro a frecuencias altas. El software desarrollado permite comparar las medidas de atenuación del filtro en modo común y en modo diferencial con la respuesta predicha por el modelo, y utilizar un algoritmo de búsqueda avanzada (*Particle Swarm Optimization*) para hallar los parámetros del modelo del filtro. Para comprobar el correcto funcionamiento de la herramienta software desarrollada se han utilizado medidas experimentales de diferentes filtros.

El desarrollo de esta herramienta se enmarca en el contexto más amplio de un esfuerzo por desarrollar una herramienta software útil para el diseño y optimización de filtros EMI. La idea es unificar las herramientas de modelado y diseño desarrolladas por el grupo de investigación en un único software, que permita generar un modelo preciso del filtro en un rango amplio de frecuencias e investigar el efecto en cada rango de frecuencias de los diferentes efectos parásitos que afectan al rendimiento del filtro. Este es un paso previo fundamental para el desarrollo de técnicas avanzadas de mitigación de efectos parásitos que permitan incrementar el rendimiento del filtro sin aumentar su peso y volumen ni incrementar su coste.

Abstract

This work focus on the development of a graphical user interface (GUI) to model the behavior of EMI filters in a wide frequency range. It makes use of a circuit model of the EMI filter, validated in the frequency range in which most of the electromagnetic compatibility standards require the measurement of conducted emissions from the equipment. This model incorporates parasitic effects such as parasitic inductances of capacitors, capacitances of inductive elements, and magnetic coupling between components, which have been shown to largely determine the actual filter response at high frequencies. The software developed allows to compare the measured attenuation of the filter (both in common mode and in differential mode) with the response predicted by the model, and to use an advanced search algorithm (*Particle Swarm Optimization*) to find the parameters of the filter model. To check the correct operation of the developed software tool, experimental measurements of different filters have been used.

The development of this tool is framed in the broader context of an effort to develop a useful software tool for the design and optimization of EMI filters. The idea is to unify the modeling and design tools developed by the research group in a single software, which allows generating an accurate filter model in a wide range of frequencies and investigating the effect in each frequency range of the different parasitic effects that affect filter performance. This is a fundamental previous step for the development of advanced techniques for mitigation of parasitic effects that allow increasing the performance of the filter without increasing its weight, volume and cost.

Índice

<i>Resumen</i>	I
<i>Abstract</i>	III
1 Introducción	1
2 Descripción del software	3
2.1 Modelado del filtro	3
2.2 Especificaciones	6
2.3 Algoritmo básico	10
2.4 Guía de uso del programa	11
2.4.1 Antes de iniciar el programa	11
2.4.2 Inicio del programa	11
2.4.3 Opciones de memoria	11
2.4.4 Opciones de búsqueda	12
2.4.5 Opciones de representación	13
2.4.6 Obtención de datos	13
2.5 Conclusiones del capítulo	14
3 Resultados	15
3.1 Datos simulados con SPICE	15
3.2 Datos experimentales	18
3.2.1 Modo diferencial	18
3.2.2 Modo común	20
3.3 Conclusiones del capítulo	20
4 Conclusiones	23
<i>Índice de Figuras</i>	25
<i>Índice de Tablas</i>	27
<i>Índice de Códigos</i>	29
<i>Bibliografía</i>	31
<i>Anexo</i>	33

1 Introducción

La interferencia electromagnética (EMI) consiste en cualquier señal no deseada radiada o conducida que provoque la degradación del desempeño de un equipo [1]. Este fenómeno puede observarse cuando la señal Wi-Fi empeora al colocar dispositivos electrónicos cerca de un *router* o saltan los interruptores automáticos de una vivienda al caer un rayo. Con el tiempo la electrónica se ha miniaturizado y se ha elevado la frecuencia de reloj de los equipos, lo que ha provocado la creación de normativa para controlar los efectos de EMI y asegurar el funcionamiento de los dispositivos comercializados [2]. La compatibilidad electromagnética (EMC) es la capacidad de un sistema electrónico para funcionar correctamente sin alterar el funcionamiento del resto de dispositivos del entorno. Es decir, no debe causar interferencia a otros equipos ni a sí mismo, ni tampoco ser susceptible a las emisiones de los demás equipos [3]

La tendencia actual en el sector aeronáutico por sustituir sistemas neumáticos e hidráulicos por actuadores eléctricos (*More Electric Aircraft*) [4], el uso extensivo de la electrónica y los requerimientos de peso y volumen de los equipos embarcados suponen un reto de diseño desde el punto de vista de la compatibilidad electromagnética. Las emisiones electromagnéticas, tanto radiadas como conducidas, de los equipos deben controlarse para cumplir con la estricta normativa del sector y asegurar su fiabilidad [5] [6]. Un dispositivo ampliamente utilizado para atenuar emisiones conducidas son los filtros EMI, que reducen el ruido de alta frecuencia producido por dispositivos electrónicos [7]. Es de especial interés su uso en las fuentes conmutadas que, a pesar de su elevada eficiencia y reducido tamaño, presentan la desventaja de generar una gran cantidad de ruido electromagnético [8].

Los filtros EMI son filtros paso-bajo compuestos por condensadores que derivan el ruido de alta frecuencia e inductores que representan un camino de alta impedancia para este ruido. Para reducir la corriente en modo común se utilizan chokes, parejas de inductores contra-acoplados que filtran las señales en modo común afectando en menor medida a la corriente en modo diferencial.

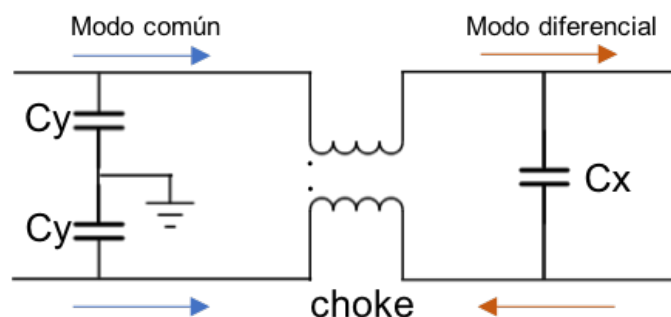


Figura 1.1 Esquemático de un filtro EMI.

Al modelo básico del filtro se pueden añadir los efectos parásitos de los diferentes componentes integrados en el filtro y el acoplo entre las inductancias, creándose de este modo un modelo de parámetros localizados capaz de reproducir con precisión la respuesta del filtro en el rango de frecuencias especificado por la normativa.

En el grupo de EMC formado por investigadores de los departamentos de Física Aplicada III e Ingeniería Electrónica de la Escuela Técnica Superior de Ingeniería de Sevilla se trabaja de forma recurrente con filtros EMI. Esto requiere el uso de diferentes programas para la resolución de circuitos, búsqueda de parámetros mediante algoritmos genéticos y representación de gráficas, teniendo que desarrollar los script necesarios para ello.

En este trabajo se expone el desarrollo de una interfaz gráfica de usuario (GUI) para modelar filtros EMI de forma simplificada realizado con el paquete *tkinter* [9] de Python. Permite la resolución de las ecuaciones del circuito de un filtro EMI a partir de los parámetros que lo modelan, la obtención de parámetros a través del algoritmo *pso* de *pyswarm* (*Particle Swarm Optimization*) [10] y la representación de las curvas obtenidas.

El algoritmo PSO se basa en la optimización de una función de coste mediante la evaluación iterativa de puntos (partículas) distribuidos en el espacio de búsqueda. El movimiento de cada partícula viene dado por su posición relativa a la mejor solución encontrada por la misma, la mejor solución encontrada por el conjunto entero (enjambre) y el movimiento de la anterior iteración. De este modo se consigue que las partículas converjan hacia un mínimo (o máximo) de la función de coste [11].

Para verificar el correcto funcionamiento del software se ha probado introduciendo medidas simuladas de un filtro previamente modelado [12] y los datos obtenidos en una experiencia previa para comprobar atenuación producida por láminas de ferrita y cobre en los condensadores [13].

2 Descripción del software

El desarrollo del software parte de la obtención de las ecuaciones del circuito, que se resolverán para obtener la respuesta en frecuencia del modelo. Para cumplir las especificaciones solicitadas la función que resuelve el circuito se integrará con otras funciones que permitan calcular parámetros mediante el ajuste de la respuesta en frecuencia del modelo a los datos experimentales y su posterior representación, así como una serie de opciones para facilitar el uso de la aplicación. Todas las funcionalidades del programa se detallan en la guía de uso, donde se explica paso a paso la correcta operación del software.

2.1 Modelado del filtro

Al tener en cuenta los efectos parásitos en el filtro deben añadirse las inductancias, capacidades y resistencias presentes en los distintos componentes, siendo estos valores diferentes según se analice para la corriente en modo común o diferencial.

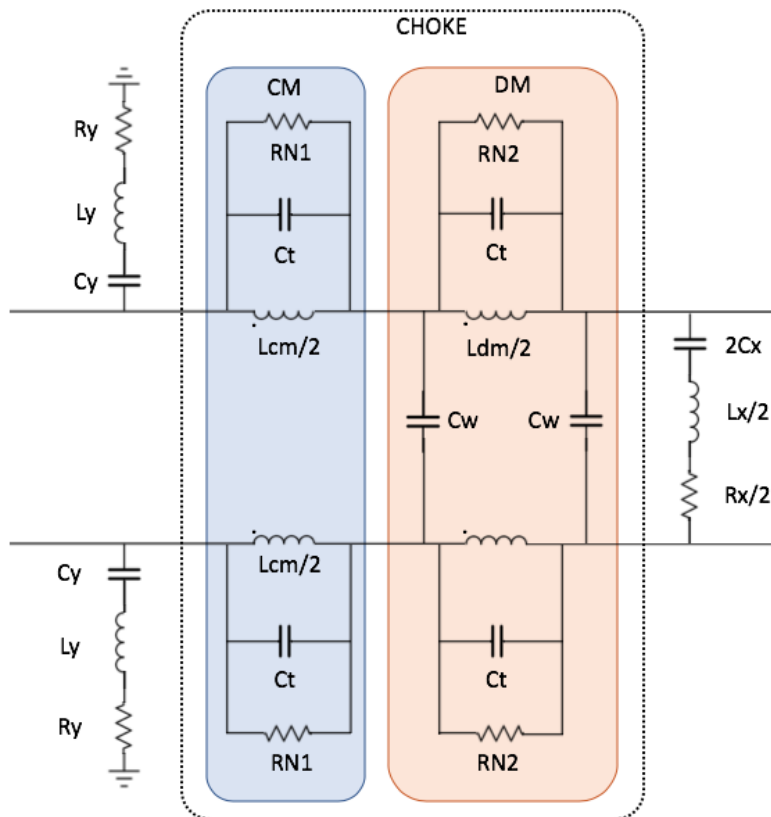


Figura 2.1 Esquema del filtro con efectos parásitos.

Los diferentes parámetros que se utilizarán para modelar la respuesta del filtro EMI serán por tanto:

- C_y : capacidad del condensador Y.
- L_y : inductancia parásita del condensador Y.
- R_y : resistencia del condensador Y.
- C_x : capacidad del condensador X.
- L_x : inductancia parásita del condensador X.
- R_x : resistencia del condensador X.
- L_{cm} : inductancia en modo común (CM) del choke.
- L_{dm} : inductancia en modo diferencial (DM) del choke.
- C_w : capacitancia parásita entre devanados.
- C_t : capacitancia parásita del choke.
- R_{N1} : resistencia parásita del choke en CM.
- R_{N2} : resistencia parásita del choke en DM.
- K_{ycm} : entre C_y y el choke en CM.
- K_{ydm} : entre C_y y el choke en DM.
- K_{xdm} : entre C_x y el choke en DM.
- K_{xy} : entre C_x y C_y .
- R_s : impedancia de la fuente.
- R_l : impedancia de la carga.

A partir de este modelo pueden obtenerse dos circuitos diferentes, uno para la respuesta en modo común y otro para la respuesta en modo diferencial mostrados en la Figura 2.2. Los acoplos entre las distintas inductancias presentes en estos circuitos pueden representarse como fuentes dependientes de tensión. Las capacidades C_w no se han tenido en cuenta en el modelado ya que tienen poca repercusión en la respuesta en frecuencia y simplifican el circuito, aún así se ha dejado como entrada en el entorno gráfico para facilitar su posible adición en futuros modelos [12].

Para resolver el circuito por el método de las mallas deben obtenerse las expresiones de las matrices de impedancia de ambos circuitos y tomar tensión unidad en la fuente de tensión con distintos valores de frecuencia. De esta forma puede obtenerse la transmisión de potencia mediante un barrido en frecuencia. La matriz de impedancia del circuito equivalente en modo común viene dada por los elementos:

$$Z_{11} = 2R_s + Z_y \quad (2.1)$$

$$Z_{12} = -Z_y + j\omega M_{ycm} \quad (2.2)$$

$$Z_{13} = -j\omega M_{ycm} \quad (2.3)$$

$$Z_{22} = Z_y + j\omega(L_{cm} - 2M_{ycm}) \quad (2.4)$$

$$Z_{23} = -j\omega(L_{cm} - M_{ycm}) \quad (2.5)$$

$$Z_{33} = Z_p + j\omega L_{cm} \quad (2.6)$$

Siendo:

$$Z_p = \frac{1}{j\omega C_t + \frac{1}{R_{N1}}} \quad Z_y = R_y + j\omega L_y + \frac{1}{j\omega C_y} \quad (2.7)$$

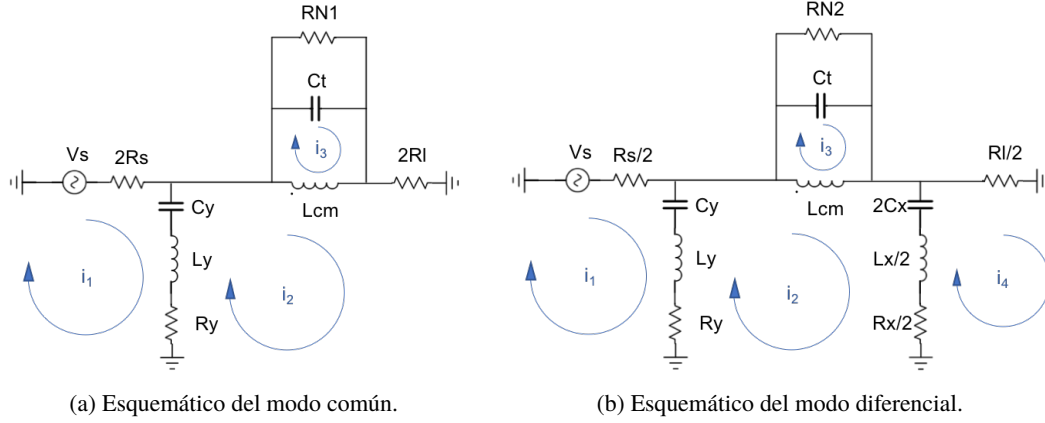


Figura 2.2 Circuitos equivalentes del filtro.

Y los elementos de la matriz de impedancia en modo diferencial:

$$Z_{11} = \frac{R_s}{2} + z_y \tag{2.8}$$

$$Z_{12} = j\omega(M_{ydm} + M_{yx}) - Z_y \tag{2.9}$$

$$Z_{13} = -j\omega M_{ydm} \tag{2.10}$$

$$Z_{14} = -j\omega M_{yx} \tag{2.11}$$

$$Z_{22} = Z_x + Z_y + j\omega(L_{dm} + 2(M_{xdm} - M_{ydm} - M_{yx})) \tag{2.12}$$

$$Z_{23} = j\omega(M_{ydm} - M_{xdm} - L_{dm}) \tag{2.13}$$

$$Z_{24} = j\omega(M_{yx} - M_{xdm}) - Z_x \tag{2.14}$$

$$Z_{33} = Z_p + j\omega L_{dm} \tag{2.15}$$

$$Z_{34} = j\omega M_{xdm} \tag{2.16}$$

$$Z_{44} = Z_x + \frac{R_l}{2} \tag{2.17}$$

Siendo:

$$Z_p = \frac{1}{j\omega C_t + \frac{1}{RN^2}} \quad Z_y = R_y + j\omega L_y + \frac{1}{j\omega C_y} \quad Z_x = \frac{R_x}{2} + j\omega \frac{L_x}{2} + \frac{1}{j\omega 2C_x} \tag{2.18}$$

Una vez obtenidas las matrices pueden calcularse las intensidades a partir de la tensión en cada bucle. El único valor no nulo del vector de tensiones corresponde en ambos circuitos a V_s .

$$\mathbf{V} = \bar{\mathbf{Z}} \mathbf{I} \tag{2.19}$$

Al resolver el sistema de ecuaciones queda definido el valor de la intensidad que pasa por la carga R_l (i_2 en el circuito equivalente del modo común o i_4 en el del modo diferencial), y por tanto el valor de la tensión en la carga V_l .

La atenuación de un filtro puede medirse a través de su respuesta en frecuencia, el cociente entre la potencia de salida y entrada del filtro. Cuando la impedancia de la fuente y de la carga coinciden, su expresión en valor absoluto viene dada por:

$$|S_{21}| = 20 \log \left(2 \frac{V_l}{V_s} \right) \tag{2.20}$$

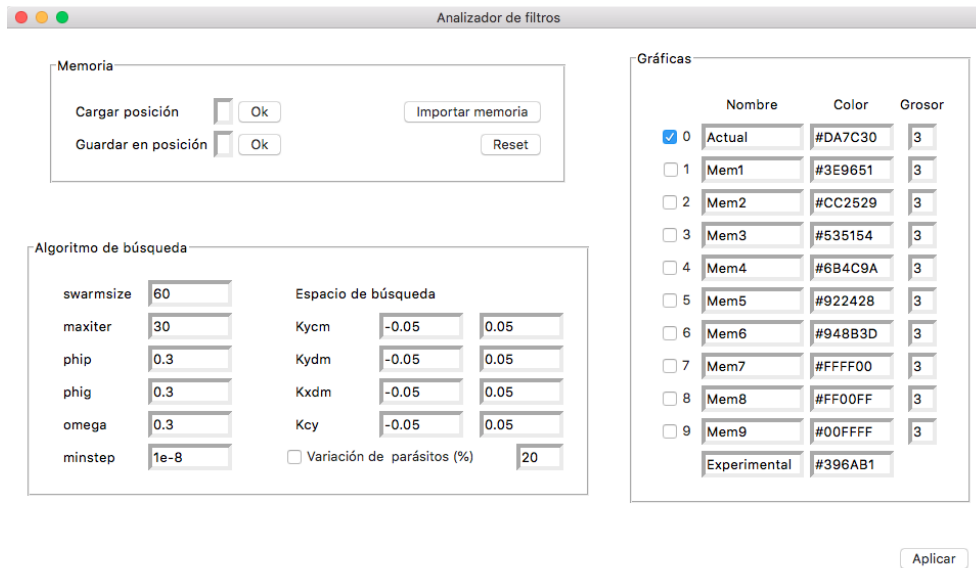


Figura 2.4 Ventana de opciones.

la memoria que contiene las diez posiciones con los parámetros guardados o las curvas en .txt o .svg (Figura 2.5).

7. Posibilidad de recuperar de un fichero con ese mismo formato una curva activa a partir del conjunto de parámetros guardados en ese fichero.

El programa permite importar las memorias que previamente se han guardado. En caso de fallo también puede restaurarse la memoria escribiendo ceros en todas las posiciones al pulsar "Reset" (Figura 2.4).

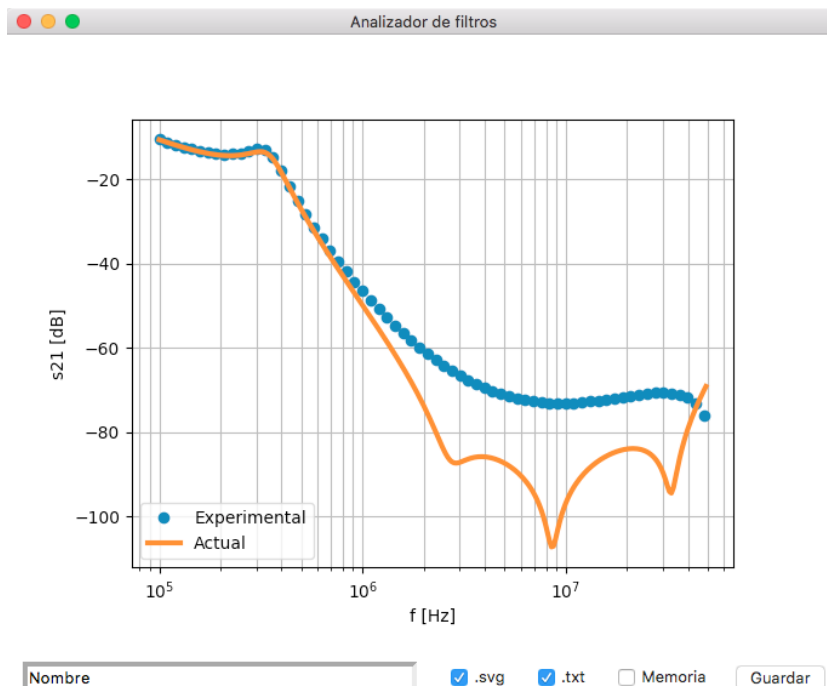


Figura 2.5 Gráfica aumentada.

8. Botón "imprimir" o "save graph" que genere un fichero de imagen (PNG o SVG) con la curva de S21 medida frente a la curva activa y/o las curvas en memoria. Bastaría con poder controlar cuáles se muestran en la gráfica y que el botón de "imprimir" saque la gráfica que esté actualmente en pantalla.

Puede guardarse de igual forma que en el punto 6 la imagen en .svg que contiene las gráficas generadas por las posiciones de memoria elegidas en las opciones (Figura 2.4).

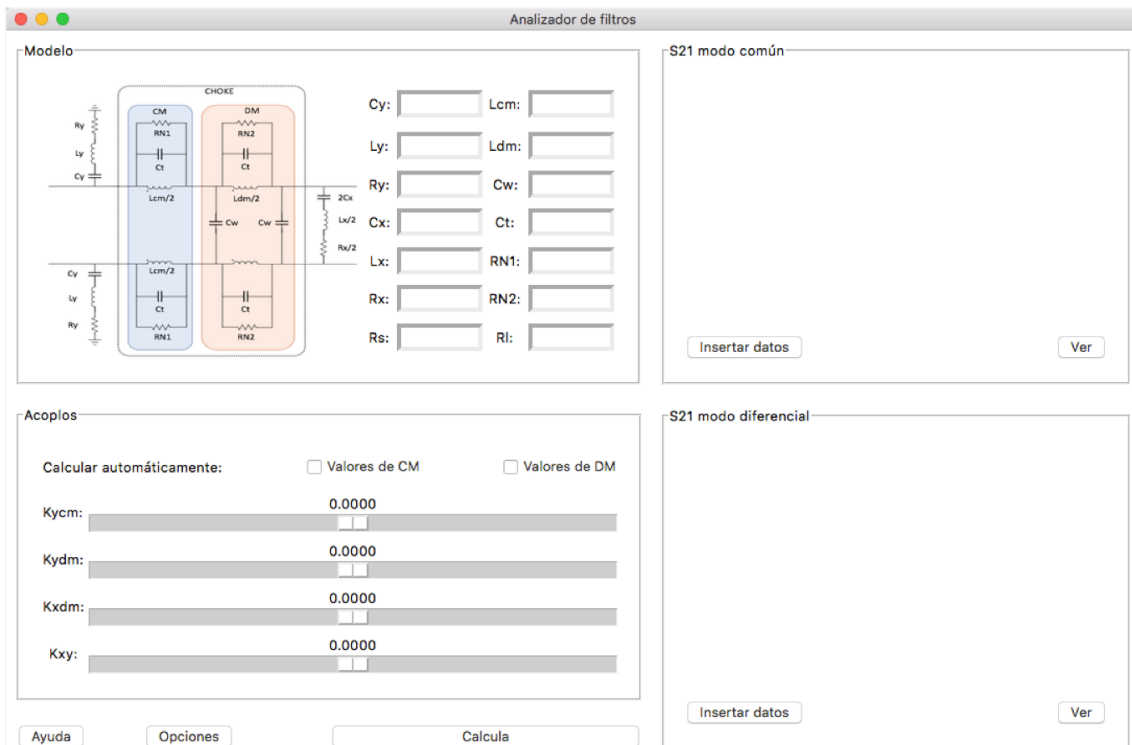


Figura 2.6 Ventana principal.

9. Opción de búsqueda de parámetros óptimos con algoritmo de búsqueda:

Todas las opciones de búsqueda son accesibles desde el menú de opciones (Figura 2.4).

a) Parámetros de partida para búsqueda serían los actuales en ventana (curva activa).

El espacio de búsqueda es por defecto los valores de los acoplos ± 0.05 y en el caso de incluir los efectos parásitos en la búsqueda, su variación está limitada a un $\pm 20\%$ (valor por defecto) de los valores actuales.

b) Posibilidad de especificar rango de búsqueda para cada parámetro. Se trata de evitar valores sin sentido físico y de acelerar el cálculo cuando se tenga una idea de por donde anda el valor que se busca. Congelar/descongelar parámetros: que sean o no variables para el proceso de búsqueda según interese.

El rango de búsqueda se puede especificar en las opciones, pudiendo incluirse o no la variación de los efectos parásitos de los condensadores (Figura 2.4).

c) Ventana con valores ajustables del algoritmo de búsqueda, como número máximo de iteraciones, error mínimo etc. En todo caso oculta en opciones avanzadas.

Se pueden especificar todos los parámetros del algoritmo PSO en las opciones (Figura 2.4).

d) Si un ajuste sale bien, se podría guardar en una memoria para poder correr varias veces el algoritmo de búsqueda y ver si los parámetros que da son estables, pudiendo comparar una curva (y conjunto de parámetros) con otra.

En el menú de opciones pueden guardarse los parámetros actuales en cualquier posición de memoria (Figura 2.4).

10. Opciones avanzadas: definición de colores/grosos y tipo de línea para curva medida, curva activa y curvas en memoria.

El aspecto de las curvas pueden cambiarse dentro de las opciones, variando su etiqueta, color, grosor y que curvas representar (Figura 2.4).

11. Posibilidad de ajuste con dos modos: común y diferencial (dos modelos de circuitos y dos conjuntos de parámetros). Podrían ser dos scripts diferentes, pero resulta cómodo ajustar los valores de CM primero y luego usar esos parámetros como punto de partida para el ajuste DM, que incorpora nuevos parámetros como los acoplos entre componentes.

El programa calcula las curvas $|S_{21}|$ en modo común y diferencial, pudiéndose realizar la búsqueda de parámetros en cada modo de forma independiente (Figura 2.7).

Acoplos

Calcular automáticamente: Valores de CM Valores de DM

Kycm: 0.0000

Kydm: 0.0000

Kxdm: 0.0000

Kxy: 0.0000

Figura 2.7 Sección de acoplos.

2.3 Algoritmo básico

El programa integra todas las especificaciones de forma que facilite el uso del mismo, minimizando el número de ventanas para hacer más accesibles los diferentes campos. Al usar la aplicación solo es necesario navegar por tres ventanas: principal, de opciones y la gráfica aumentada.

La operación básica del mismo consiste en introducir los datos necesarios en la ventana principal, modificar las opciones que se deseen para resolver el circuito y, una vez obtenidos los resultados, exportar los documentos desde la vista ampliada de la gráfica.

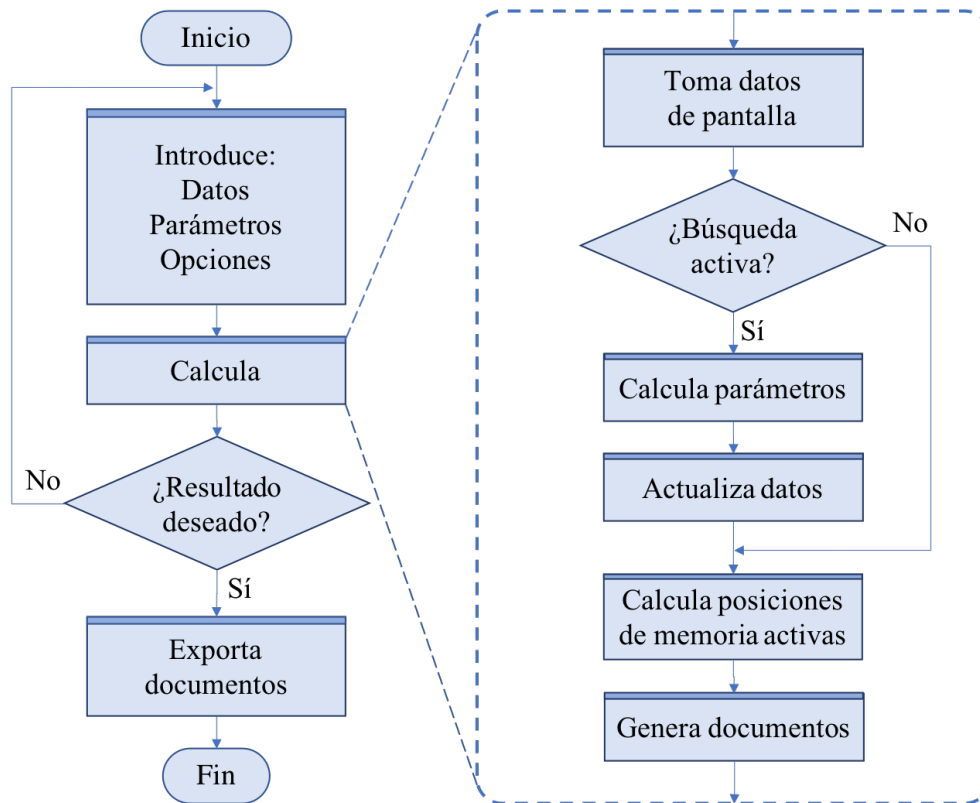


Figura 2.8 Diagrama de flujo con los procesos básicos de la aplicación.

La búsqueda de parámetros se realiza mediante la optimización de una función de coste por *Particle Swarm Optimization* (PSO). Dicha función es el error cuadrático medio que presentan los puntos de la curva $|S21|$ respecto a los datos experimentales introducidos en la aplicación, tomando como variables los acoplos y , si se desea, los efectos parásitos de los condensadores. La PSO se basa en la búsqueda de un mínimo en la función de coste mediante la distribución de puntos en el espacio de búsqueda (partículas) que evalúan la función de coste en su posición. En las distintas iteraciones cada partícula se moverá según su posición relativa a su mejor solución obtenida y la mejor solución del conjunto (enjambre). Esto hace que las partículas converjan eventualmente a un mínimo de la función de coste [11].

2.4 Guía de uso del programa

2.4.1 Antes de iniciar el programa

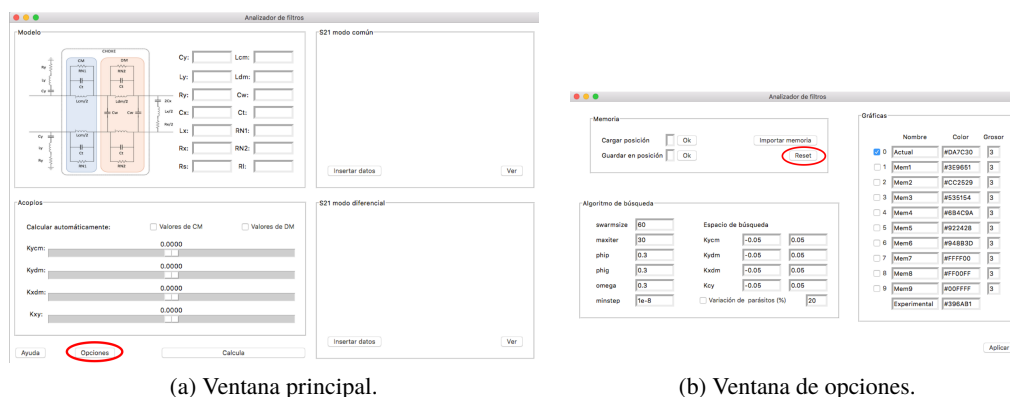
El ordenador donde quiera utilizarse la aplicación debe tener instalado Python 3.0 o una versión más reciente. También requiere las siguientes librerías:

- math
- numpy
- matplotlib
- shutil
- tkinter
- pillow
- pyswarm

Para iniciar el programa debe crearse una carpeta que contenga el script y la carpeta "imagenes". En el interior de esta carpeta se encuentra un esquema del filtro y una imagen blanca, "model.png" y "spacer.png" respectivamente. La imagen en blanco se utilizará cuando aún no se hayan creado gráficas al iniciar el programa. En la misma carpeta del script se crearán más archivos a medida que se use el programa, como son la memoria, las imágenes de las gráficas o los archivos de texto con sus puntos.

2.4.2 Inicio del programa

Al ejecutar el código se genera una ventana que contiene los bloques de la aplicación que permiten introducir parámetros y visualizar las gráficas, todos ellos en blanco. Si es la primera vez que se utiliza el programa debe crearse la memoria del mismo: un archivo de texto tabulado de 18 filas y 10 columnas con el nombre "memory.txt". Para ello dentro del apartado "Opciones" debe pulsarse el botón "Reset" como muestra la figura Figura 2.9. De esta forma se crea el archivo con ceros en todas sus posiciones.



(a) Ventana principal.

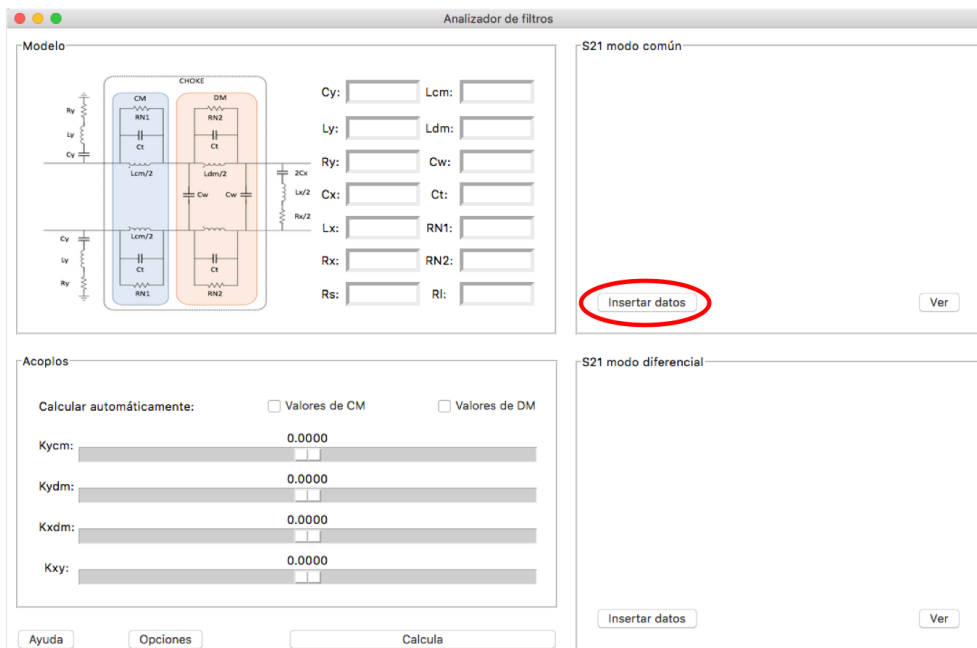
(b) Ventana de opciones.

Figura 2.9 Creación o reinicio de la memoria.

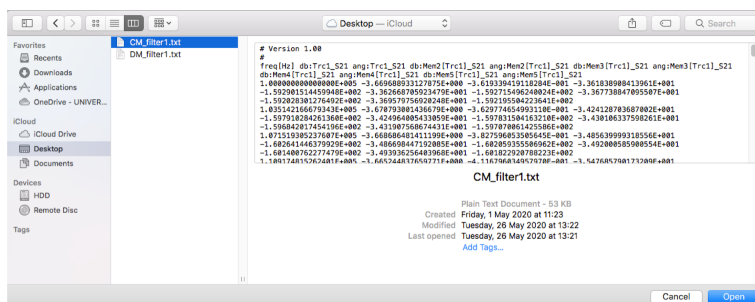
Para introducir los datos experimentales de las curvas $|S_{21}|$ en modo común y diferencial estos deben estar en un fichero de texto distribuido en columnas. Al pulsar el botón "Insertar datos" se abre el explorador de archivos del ordenador y al elegir un archivo aparece una ventana para seleccionar las columnas de los datos (Figura 2.10). Los parámetros del circuito pueden introducirse escribiéndolos en las cajas disponibles del modelo. Acepta los sufijos SPICE (p, n, u, m, K, etc).

2.4.3 Opciones de memoria

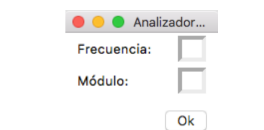
Es el primero de los bloques de la ventana de opciones. La memoria consta de diez posiciones en las que pueden guardarse los parámetros del modelo y los acoplos. Dentro de las opciones se pueden guardar y cargar en la pantalla posiciones de la memoria escribiendo su número (0 – 9) y haciendo click en "Ok" (Figura 2.11 - I). Una vez abierta la ventana de opciones pueden modificarse tantas posiciones de memoria como se quiera sin necesidad de cerrarla accionado "Aplicar".



(a) Ventana principal.



(b) Ventana explorador de archivos.



(c) Elección de columnas.

Figura 2.10 Inserción de datos experimentales.

Si ya se dispone de un fichero de texto con las posiciones de memoria este puede importarse con el botón "Importar memoria". Junto a él se encuentra el botón "Reset", que sirve para inicializar la memoria y restaurarla en caso de fallo (Figura 2.11 - II).

2.4.4 Opciones de búsqueda

Una vez introducidos los datos deben especificarse los parámetros de la búsqueda, que se dividen en tres bloques:

1. Parámetros del algoritmo PSO (*Particle Swarm Optimization*): son los parámetros propios de este algoritmo que se introducen por pantalla como se muestra en Figura 2.12 - I:
 - a) *swarmsize*: número de partículas.
 - b) *maxiter*: número máximo de iteraciones.
 - c) *phip*: peso de la mejor solución de la partícula en la búsqueda.
 - d) *phig*: peso de la mejor solución global.
 - e) *omega*: inercia de la partícula.
 - f) *minstep*: diferencia entre aproximaciones sucesivas a partir del cual la búsqueda se detiene.
2. Espacio de búsqueda: son los valores que pueden tomar los parámetros. Los valores de los acoplos son por defecto un intervalo de 0.1 centrado en el valor que tenga el slider, y pueden modificarse escribiendo

el rango deseado. Además se pueden variar los efectos parásitos de los condensadores durante el ajuste en un tanto por ciento del valor original (Figura 2.12 - II).

3. El modo de búsqueda: en la ventana principal se selecciona el modo común o diferencial.

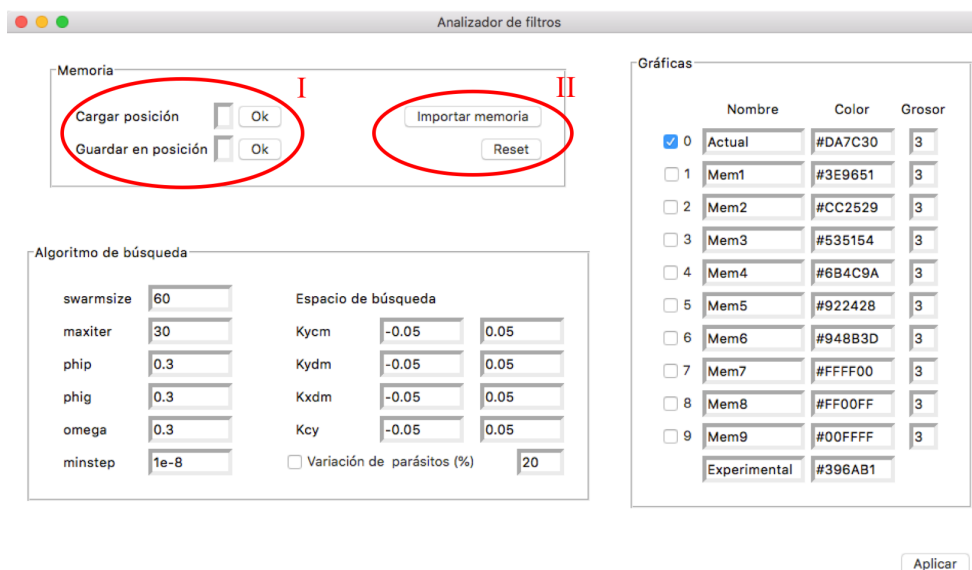


Figura 2.11 Opciones de memoria.

2.4.5 Opciones de representación

En este bloque se puede elegir qué curvas representar de los diez conjuntos de parámetros pudiendo alterarse de cada una la etiqueta en la leyenda, el color y el grosor. Siempre que se abra el menú de opciones solo estará marcada la curva actual, representándose por defecto junto a la curva experimental.

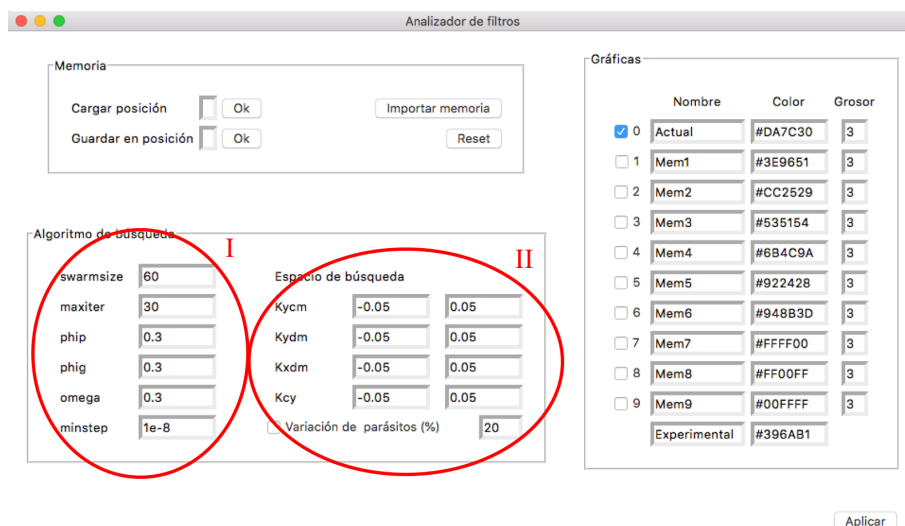


Figura 2.12 Opciones de búsqueda.

2.4.6 Obtención de datos

Desde la ventana principal se puede acceder a una vista ampliada de cada una de las gráficas. En esta nueva ventana están las opciones de guardado, pudiéndose obtener una imagen de la gráfica en formato vectorial y un archivo de texto con los puntos de las curvas que aparecen en la gráfica. La opción "Memoria" permite exportar el fichero con todas las posiciones de la memoria, de esta forma se puede trabajar con varios proyectos

importando y exportando los archivos de memoria y comparar fácilmente los parámetros obtenidos abriendo estos archivos. Para exportar las imágenes y los archivos de texto debe marcarse la casilla correspondiente, escribir el nombre con el que desea guardar el documento y pulsar "Guardar" (Figura 2.13).

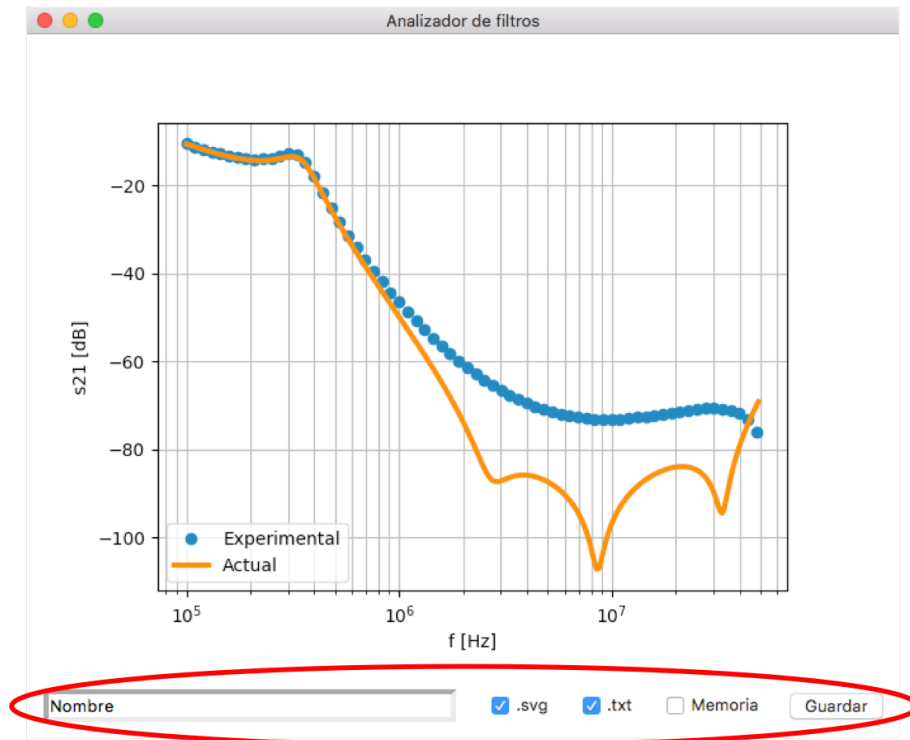


Figura 2.13 Opciones de guardado.

2.5 Conclusiones del capítulo

En este capítulo se ha expuesto el funcionamiento del programa, empezando por la obtención del modelo del filtro EMI y la descripción de los parámetros del mismo. El software se ha desarrollado a partir de las especificaciones mostradas en el segundo apartado, donde también se muestra cómo se ha cumplido con ellas. La operación de la aplicación se ha explicado en dos apartados distintos: en el primero se exponen los pasos de forma general junto a una breve explicación del algoritmo de búsqueda utilizado y el segundo es una guía de uso donde se explican detalladamente las funcionalidades del programa.

3 Resultados

Para verificar el funcionamiento del software se han realizado dos pruebas diferentes. En primer lugar se toman los datos del modelo SPICE de un filtro para comprobar la correcta resolución del circuito y la eficacia de la búsqueda de parámetros [12]. También se han usado las medidas experimentales de otro filtro al que se le han atenuado los acoplos entre sus componentes mediante el uso de caperuzas de cobre en los condensadores [13]. De este modo se puede comprobar la utilidad de la herramienta para modelar un filtro y estimar los acoplos después de aplicar distintas técnicas de atenuación.

3.1 Datos simulados con SPICE

Para obtener la respuesta en frecuencia del circuito se crean los modelos equivalentes para la excitaciones en modo común y en modo diferencial utilizando un programa de resolución de circuitos. Se realiza un barrido en frecuencia ente 100 kHz y 50 MHz dando a la fuente de tensión una amplitud de 1 V. De esta forma la expresión de la ganancia $|S_{21}|$ depende únicamente de V_I : la tensión a lo largo de la carga R_I .

$$|S_{21}| = 20\log(2V_I) \quad (3.1)$$

Código 3.1 Código del circuito equivalente en modo común.

```
Comon mode

*Netlist
Vs      1      0      DC 0 AC 1
Rs      1      2      100
Cy      2      3      44n
Ly      3      4      13.689n
Ry      4      0      46.361m
Lcm     2      5      4.62m
Ct      2      5      4.67p
RN1     2      5      24670
Rl      5      0      100
Kycm   Ly      Lcm   0

.control
  ac dec 100 100k 50MEG
  set filetype=ascii
  plot db(2*V(5))
  write datos_cm.txt db(2*V(5))
.endc
.end
```

Estos códigos guardan las curvas en archivos .txt que pueden ser leídos por el programa como si fueran datos experimentales. Se han añadido los acoplamientos y los efectos parásitos calculados para modelar el circuito, de forma que la aplicación tendrá que partir de unos valores aproximados de los mismos antes de realizar el ajuste.

Código 3.2 Código del circuito equivalente en modo diferencial.

```
Differential Mode

*Netlist
Vs      1      0      DC 0 AC 1
Rs      1      2      25
Cy      2      3      44n
Ly      3      4      13.689n
Ry      4      0      46.361m
Ldm     2      5      4.95u
Ct      2      5      4.67p
RN2     2      5      10310
Rl      5      0      25
Cx      5      6      880n
Lx      6      7      5.6408n
Rx      7      0      20m
Kydm   Ly     Ldm   -0.4703
Kxdm   Lx     Ldm   -0.1240
Kyx    Ly     Lx    0.0504

.control
  ac dec 100 100k 50MEG
  set filetype=ascii
  plot db(2*V(5))
  write datos_dm.txt db(2*V(5))
.endc
.end
```

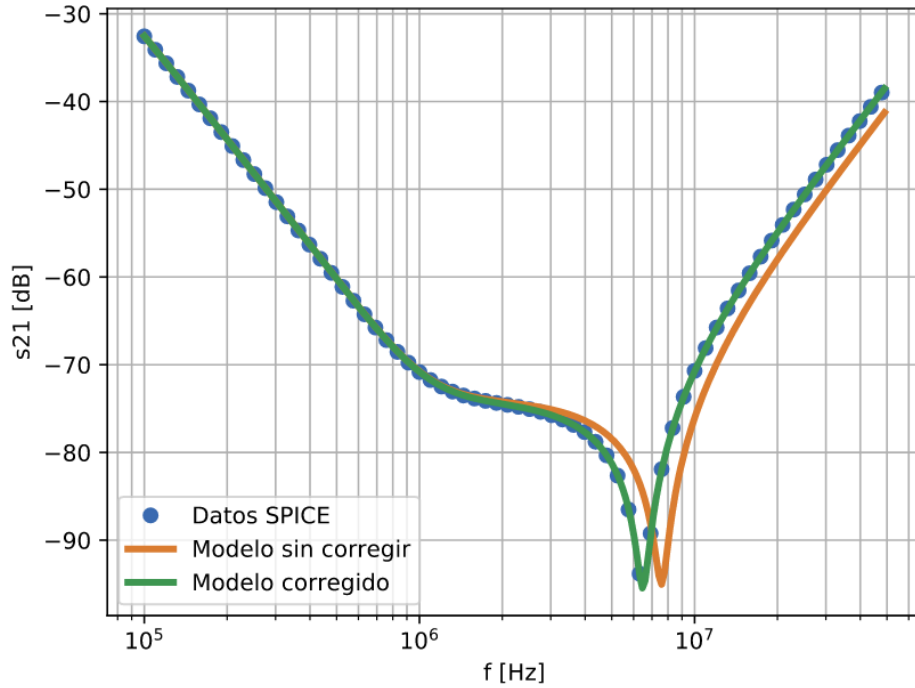
Tanto en los condensadores C_y como en el C_x se toman como valores parásitos iniciales una inductancia de 10 nH y una resistencia de 40 m Ω . Al realizar aproximaciones sucesivas estos parámetros varían dentro de su espacio de búsqueda hasta encontrar un error mínimo entre las curvas introducidas como dato y las modeladas.

Dependiendo del espacio de búsqueda elegido el programa puede encontrar distintos conjuntos de parámetros hacia los que converge. Haciendo uso de la memoria es posible distinguir la mejor solución de las obtenidas por el programa. Tras realizar la búsqueda de parámetros se obtienen las aproximaciones de ambas curvas con un error cuadrático medio inferior a 1 dB como muestran la Figura 3.1.

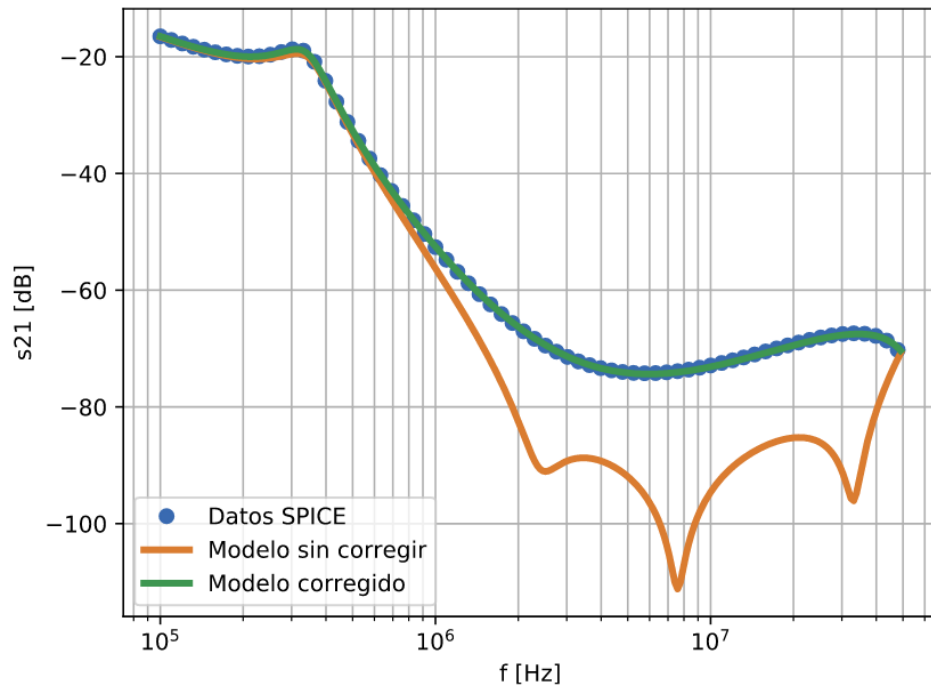
Tabla 3.1 Valores de parámetros del modelo SPICE y su aproximación.

	L_y (nH)	R_y (m Ω)	L_x (nH)	R_x (m Ω)	K_{ycm}	K_{ydm}	K_{xdm}	K_{xy}
Modelo SPICE	13.689	46.361	11.282	40.000	0.0000	-0.4703	-0.1240	0.0504
Aproximación	13.6	44.7	10.0	31.3	0.0002	-0.4145	-0.1243	0.0469

Los parámetros obtenidos con la mejor aproximación se muestran en la Tabla 3.1. Las diferencias existentes entre los valores de la simulación y la aproximación muestran la sensibilidad de los parámetros, siendo en cualquier caso un modelo aceptable al ajustar las gráficas con poco error.



(a) Respuestas en frecuencia en modo común.



(b) Respuestas en frecuencia en modo diferencial.

Figura 3.1 Respuesta en frecuencia del modelo sin acoplos y ajustado a los datos SPICE.

3.2 Datos experimentales

Para comprobar que la aplicación es capaz de ajustar curvas con distintos valores de acoplos en un mismo filtro se parte de dos medidas:

- Respuesta en frecuencia de un filtro en modo común y diferencial. Está compuesto por un C_x de 470 nF, dos C_y de 47 nF y el choke caracterizado con anterioridad.
- Respuesta en frecuencia del mismo filtro en modo común y diferencial tras colocar caperuzas de cobre en sus condensadores. Esto hará que los acoplos entre los componentes del filtro sean menores y por tanto el filtro tenga una mayor atenuación [14].

Del mismo modo que en el apartado anterior se estiman los efectos parásitos de los componentes del filtro y al introducirlos en el algoritmo se modificarán para obtener un mejor ajuste. En este caso se han tomado unos límites más amplios en la búsqueda: impedancias de 5 a 20 nH y resistencias de 10 a 40 m Ω .

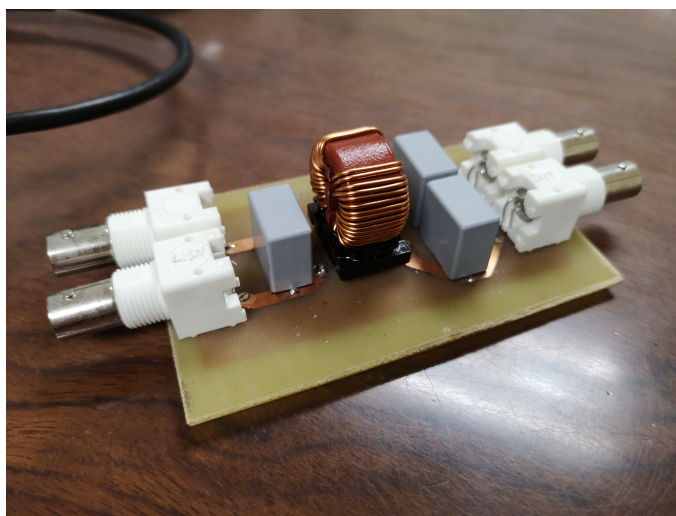


Figura 3.2 Filtro del que se han obtenido las medidas (Adaptado de [13]).

Se realiza la búsqueda de parámetros para ajustar las curvas y se repite cambiando el espacio de búsqueda de los acoplos para obtener distintas soluciones. Estas se guardan en diferentes posiciones de la memoria y se comparan para encontrar la mejor aproximación.

Para tomar los dos conjuntos de parámetros que modelan los circuitos equivalentes se ha tenido en cuenta que el orden de magnitud de los acoplos debe ser coherente con el filtro previamente modelado y los efectos parásitos de los componentes del filtro con y sin caperuzas deben ser coherentes.

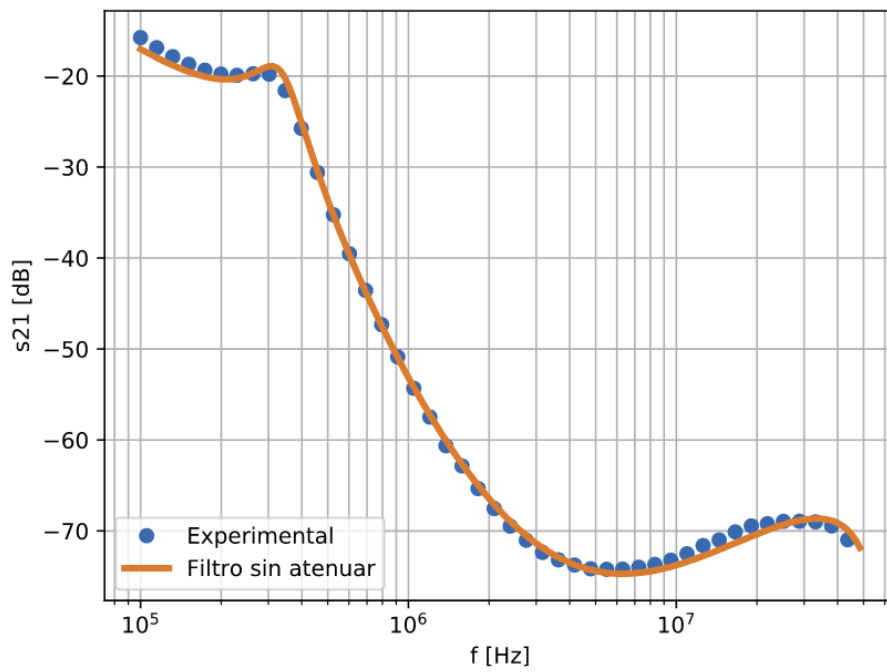
3.2.1 Modo diferencial

Para el ajuste en modo diferencial se puede apreciar en la Tabla 3.2 que los valores de los acoplos en el caso del filtro atenuado son menores en valor absoluto mientras el resto de los valores no varían en gran medida. Debe de tenerse en cuenta que la sensibilidad de las resistencias es menor que la de las inductancias parásitas y las constantes de acoplamiento, por lo que la precisión con la que son calculadas es menor.

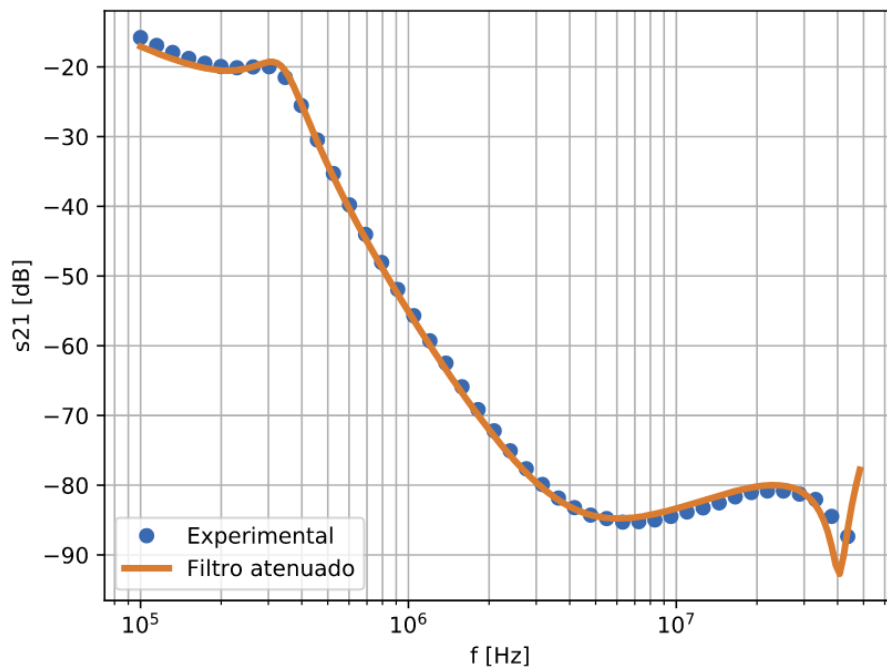
Tabla 3.2 Modelo en modo diferencial a partir de datos experimentales.

	L_x (nH)	R_x (m Ω)	K_{ydm}	K_{xdm}	K_{xy}
Filtro sin atenuar	6.49	44.7	-0.1417	-0.1206	0.0231
Filtro atenuado	6.88	40.0	-0.0087	-0.0444	0.0029

En la Figura 3.3 se muestran los ajustes de ambas curvas, siendo algo más pobre en los extremos del intervalo. El error cuadrático medio de las aproximaciones es menor de 2 dB.



(a) Filtro sin atenuar.



(b) Filtro atenuado con caperuzas de cobre.

Figura 3.3 Ajustes en modo diferencial.

3.2.2 Modo común

El ajuste en modo común, al tener menos variables presenta un mayor número de posibles soluciones. Esto hace que sea más difícil encontrar una pareja de soluciones coherentes. Los valores mostrados en la Tabla 3.3 resultan en un buen ajuste de las curvas (Figura 3.3).

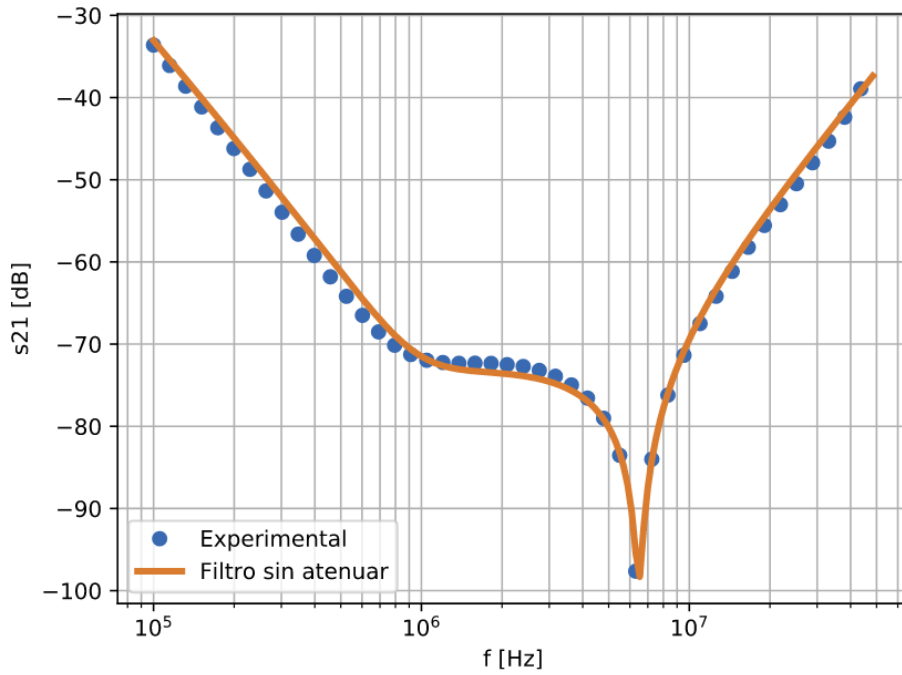
Tabla 3.3 Modelo modo común a partir de datos experimentales.

	L_y (nH)	R_y (m Ω)	K_{ycm}
Filtro sin atenuar	15.7	16.1	-0.0123
Filtro atenuado	11.8	17.5	-0.0138

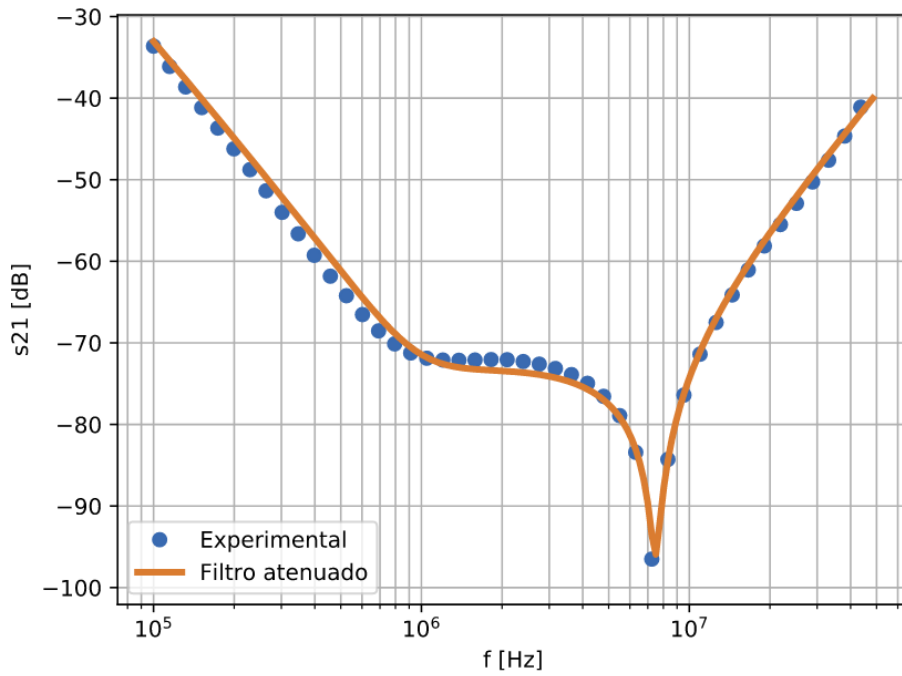
Para solucionar la incertidumbre se podrían caracterizar los componentes del filtro antes de realizar el análisis, dejando por determinar un solo grado de libertad en modo común: el acoplo entre el condensador C_y y el choke. También ayudaría la caracterización de los componentes al ser modificados, como la variación de la inductancia parásita de los condensadores al colocar el recubrimiento de cobre.

3.3 Conclusiones del capítulo

El ajuste de los datos simulados en SPICE demuestra que las ecuaciones implementadas en el programa resuelven correctamente el circuito, y el algoritmo de búsqueda es capaz de encontrar los parámetros del circuito minimizando el error cuadrático medio. Los datos experimentales también se han ajustado de manera satisfactoria por el mismo procedimiento, siendo el ajuste en modo común más difícil por tener menos parámetros y ser el rango de soluciones aceptables más amplio.



(a) Filtro sin atenuar.



(b) Filtro atenuado con caperuzas de cobre.

Figura 3.4 Ajustes en modo común.

4 Conclusiones

A lo largo de este trabajo se ha explicado el desarrollo del software de modelado de filtros EMI y se ha probado su eficacia con datos simulados y experimentales.

Al introducir los datos simulados en SPICE se prueba que la aplicación resuelve correctamente las ecuaciones de los circuitos equivalentes, ajustando los valores de los efectos parásitos y los acoplos para dar la solución óptima (menor error cuadrático medio), que coincide con los valores dados en la simulación.

El programa es capaz de ajustar las curvas experimentales introducidas con un error cuadrático medio menor a 2 dB, creando un modelo del filtro que reproduce el comportamiento del filtro medido en todo el rango de frecuencias.

En el modelado del circuito equivalente en modo diferencial es capaz de encontrar la solución óptima a partir de los valores estimados de los efectos parásitos de los condensadores. En el caso del circuito equivalente en modo común es necesario calcular estos valores previamente para poder distinguir las posibles soluciones con mayor precisión.

Debido a la gran variación de sensibilidad entre los diferentes parámetros que modelan el filtro sería de interés realizar un estudio de sensibilidad de los parámetros de los filtros EMI.

Índice de Figuras

1.1	Esquemático de un filtro EMI	1
2.1	Esquema del filtro con efectos parásitos	3
2.2	Circuitos equivalentes del filtro	5
2.3	Sección del modelo	6
2.4	Ventana de opciones	7
2.5	Gráfica aumentada	7
2.6	Ventana principal	8
2.7	Sección de acoplos	9
2.8	Diagrama de flujo con los procesos básicos de la aplicación	10
2.9	Creación o reinicio de la memoria	11
2.10	Inserción de datos experimentales	12
2.11	Opciones de memoria	13
2.12	Opciones de búsqueda	13
2.13	Opciones de guardado	14
3.1	Respuesta en frecuencia del modelo sin acoplos y ajustado a los datos SPICE	17
3.2	Filtro del que se han obtenido las medidas (Adaptado de [13])	18
3.3	Ajustes en modo diferencial	19
3.4	Ajustes en modo común	21

Índice de Tablas

3.1	Valores de parámetros del modelo SPICE y su aproximación	16
3.2	Modelo en modo diferencial a partir de datos experimentales	18
3.3	Modelo modo común a partir de datos experimentales	20

Índice de Códigos

3.1	Código del circuito equivalente en modo común	15
3.2	Código del circuito equivalente en modo diferencial	16

Bibliografía

- [1] N. Violette, *Electromagnetic Compatibility Handbook*, 1st ed. Springer, 1987, ch. 1.
- [2] “Radio frequency devices,” Federal Communications Commission, Standard 47 CFR Part 15, 1975.
- [3] C. R. Paul, *Introduction to Electromagnetic Compatibility*, 2nd ed. John Wiley & Sons, Inc, 2006, ch. 1.
- [4] J. A. Rosero, J. A. Ortega, E. Aldabas and L. Romeral, “Moving towards a more electric aircraft,” *IEEE Aerospace and Electronic Systems Magazine*, vol. 22, no. 3, pp. 3–9, 2007.
- [5] “Environmental Conditions and Test Procedures for Airborne Equipment,” Radio Technical Commission for Aeronautics, Standard DO-160G, dec 2010.
- [6] “Airworthiness Certification Criteria,” Department of Defense, U.S., Handbook MIL-HDBK-561C, dec 2014.
- [7] C. R. Paul, *Introduction to Electromagnetic Compatibility*, 2nd ed. John Wiley & Sons, Inc, 2006, ch. 6.2.
- [8] H. W. Ott, *Electromagnetic Compatibility Engineering*. John Wiley & Sons, Inc, 2009, ch. 13.2.
- [9] tkinter — python interface to tcl/tk. [Online]. Available: <https://docs.python.org/3/library/tkinter.html#module-tkinter>
- [10] Particle swarm optimization (pso) with constraint support. [Online]. Available: <https://pythonhosted.org/pyswarm/>
- [11] R. Poli, J. Kennedy and T. Blackwell , “Particle swarm optimization,” *Swarm Intelligence*, vol. 1, no. 1, pp. 33–57, 2007.
- [12] N. Navea, “Caracterizacion de efectos de alta frecuencia en filtros EMI para convertidores de potencia,” TFM, Universidad de Sevilla, 2018.
- [13] J. Bernal, “Efecto de laminas de ferrita y de caperuzas de cobre en filtros EMI,” (sin publicar).
- [14] J. Bernal and M. J. Freire, “On-site, quick and cost-effective techniques for improving the performance of EMI filters by using conducting bands.” 2016 IEEE International Symposium on Electromagnetic Compatibility (EMC), 2016, pp. 390–395.

Anexo: Código completo

```
1  #!/usr/bin/python
2
3  from tkinter import *
4  from tkinter import messagebox
5  from tkinter import filedialog
6  from PIL import ImageTk,Image
7  from pyswarm import pso
8  import numpy as np
9  import math as m
10 import matplotlib.pyplot as plt
11 import shutil
12
13
14
15
16
17 # Definición de las funciones
18     #####
19 def show_help():
20     # Abre el documento con la info detallada
21     messagebox.showinfo(title="Ayuda", message='''Este programa permite
22         representar las respuestas\
23         en modo común y diferencial de un filtro teniendo en cuenta los efectos pará
24         sitos de sus compo\
25         mentos y sus acoplamientos, los cuales pueden calcularse o introducirse
26         manualmente. Los paráme\
27         tros que modelan el filtro son:
28
29         Condensadores:
30         -Cy: capacidad de Y
31         -Ly: inductancia parásita de Y
32         -Ry: resistencia de Y
33         -Cx: capacidad de X
34         -Lx: inductancia parásita X
35         -Rx: resistencia del X
36
37         CMC (choke de común):
38         -Lcm: inductancia en modo común (cm)
39         -Ldm: inductancia en modo diferencial (dm)
40         -Cw: capacitancia parásita entre devanados
```

```

38 -Ct: capacitancia parásita
39 -RN1: resistencia parásita en cm
40 -RN2: resistencia parásita en dm
41
42 Acoplamientos:
43 -Kycm: entre Cy y CMC en cm
44 -Kydm: entre Cy y CMC en dm
45 -Kxdm: entre Cx y CMC en dm-Kxy: entre Cx y Cy
46
47 Equipo de medida
48 -Rs: impedancia de la fuente
49 -Rl: impedancia de la carga''')
50
51
52
53
54
55 def solve_circuit(K=None, search_mode=None):
56 # Resuleve el circuito CM o DM
57     global s21_cm
58     global s21_dm
59     global s21x_cm
60     global s21x_dm
61     global parasite
62
63     # Define las variables del algoritmo de búsqueda
64     if search_mode is "cm":
65         data[14] = str(K[0])
66         if search_parasite.get():
67             data[1] = str(K[1])
68             data[2] = str(K[2])
69
70     if search_mode is "dm":
71         data[15] = str(K[0])
72         data[16] = str(K[1])
73         data[17] = str(K[2])
74         if search_parasite.get():
75             data[4] = str(K[3])
76             data[5] = str(K[4])
77
78     # Convierte los str a float con los sufijos de SPICE
79     Cy, Ly, Ry, Cx, Lx, Rx, Rs, Lcm, Ldm, Cw, Ct, RN1, RN2, Rl, Kycm, Kydm, Kxdm,
        Kyx = [float(i.replace("T", "e12").replace("G", "e9").replace("MEG", "e6").
            replace("K", "e3").replace("m", "e-3").replace("u", "e-6").replace("n", "e
            -9").replace("p", "e-12").replace(" ", "")) for i in data]
80
81     # Valores parásitos a optimizar
82     parasite = [Ly, Ry, Lx, Rx]
83
84     # Resolución del modo común
85     s21_cm = np.zeros(len(freqx_cm))
86     cont = 0
87
88     for f in freqx_cm:
89         # Frecuencia
90         jw = 2*m.pi*f*1j
91

```

```

92  # Acoplo
93  M = Kycm*m.sqrt(Ly*Lcm)
94
95  # Impedancias agrupadas por elemento
96  zp = 1/(jw*Ct + 1/RN1)
97  zy = Ry + 1/(jw*Cy) + jw*Ly
98
99  # Matriz de impedancias
100 z11 = 2*Rs + zy
101 z12 = -zy + jw*(M)
102 z13 = -jw*M
103 z22 = zy + jw*(Lcm-2*M) + Rl/2
104 z23 = -jw*(Lcm-M)
105 z33 = zp + jw*Lcm
106
107 z_matrix_cm = np.mat([[z11, z12, z13],
108                       [z12, z22, z23],
109                       [z13, z23, z33]])
110
111 # Vectores de tensión e intensidad
112 v_cm = np.array([1, 0, 0])
113
114 # Resolución
115 i_cm = np.dot(np.linalg.inv(z_matrix_cm), v_cm)
116 vlcm = np.absolute(np.dot([0, 2*Rl, 0], i_cm.transpose()))
117
118 # s21 en CM
119 s21_cm[cont] = 20*m.log10(2*vlcm)
120
121 cont = cont + 1
122
123 # Resolución del modo diferencial
124 s21_dm = np.zeros(len(freqx_dm))
125 cont = 0
126
127 for f in freqx_dm:
128     # Frecuencia
129     jw = 2*m.pi*f*1j
130
131     # Acoplos
132     Mydm = Kydm*m.sqrt(Ly*Ldm)
133     Mxdm = Kxdm*m.sqrt(Lx*Ldm/2)
134     Myx = Kyx*m.sqrt(Ly*Lx/2)
135
136     # Impedancias agrupadas por elemento
137     Zp = 1/(jw*Ct + 1/(RN2))
138     Zy = Ry + jw*Ly + 1/(jw*Cy)
139     Zx = Rx/2 + jw*Lx/2 + 1/(jw*2*Cx)
140
141     # Matriz de impedancias
142     z11 = Rs/2 + Zy
143     z12 = jw*(Mydm + Myx) - Zy
144     z13 = -jw*Mydm
145     z14 = -jw*Myx
146     z22 = Zx + Zy + jw*(Ldm + 2*(Mxdm - Mydm - Myx))
147     z23 = jw*(Mydm - Mxdm - Ldm)
148     z24 = jw*(Myx - Mxdm) - Zx

```

```

149     z33 = Zp + jw*Ldm
150     z34 = jw*Mxdm
151     z44 = Zx + Rl/2
152
153     z_matrix_dm = np.mat([[z11, z12, z13, z14],
154                          [z12, z22, z23, z24],
155                          [z13, z23, z33, z34],
156                          [z14, z24, z34, z44]])
157
158     # Vector tensión normalizado
159     v_dm = np.array([1, 0, 0, 0])
160
161     # Resolución
162     i_dm = np.dot(np.linalg.inv(z_matrix_dm), v_dm)
163     vldm = np.absolute(np.dot([0, 0, 0, Rl/2], i_dm.transpose()))
164
165     # s21 en DM
166     s21_dm[cont] = 20*m.log10(2*vldm)
167
168     cont = cont + 1
169
170
171
172
173
174 def cost_function_cm(K):
175     # Función a minimizar para buscar Kycm
176     solve_circuit(K, search_mode="cm")
177
178     # Error cuadrático medio de los puntos de las curvas
179     aux = np.array(s21x_cm) - np.array(s21_cm)
180     return np.mean(np.multiply(aux, aux))
181
182
183
184
185
186 def cost_function_dm(K):
187     # Función a minimizar para buscar Kydm, Kxdm, Kyx
188     solve_circuit(K, search_mode="dm")
189
190     # Error cuadrático medio de los puntos de las curvas
191     aux_1 = np.array(s21x_dm) - np.array(s21_dm)
192     return np.mean(np.multiply(aux_1, aux_1))
193
194
195
196
197
198 def solve_main():
199     # Función resolución (lee opciones en pantalla y llama a solve_circuit)
200     global autoslot
201
202     # Toma los datos de la pantalla
203     data = [box_1.get(), box_2.get(), box_3.get(), box_4.get(), box_5.get(),
            box_6.get(), box_7.get(), box_8.get(), box_9.get(), box_10.get(), box_11.

```

```

get(), box_12.get(), box_13.get(), box_14.get(), str(slider_1.get()), str(
slider_2.get()), str(slider_3.get()), str(slider_4.get()))
204
205 # Inicia la búsqueda de parámetros CM
206 if search_cm.get():
207
208     # Creación del espacio de búsqueda
209     if search_parasite.get():
210         lb = [lower_bound[0], (1-delta)*parasite[0], (1-delta)*parasite[1]]
211         ub = [upper_bound[0], (1+delta)*parasite[0], (1+delta)*parasite[1]]
212     else:
213         lb = [lower_bound[0]]
214         ub = [upper_bound[0]]
215
216     # Optimización
217     Kopt, fopt = pso(cost_function_cm, lb, ub, swarmsize=int(data_opt[0]),
        maxiter=int(data_opt[1]), phip=float(data_opt[2]), phig=float(data_opt[3]),
        omega=float(data_opt[4]), minstep=float(data_opt[5]), debug=True)
218
219     # Actualiza el valor óptimo
220     slider_1.set(Kopt[0])
221     data[14] = str(Kopt[0])
222
223     if search_parasite.get():
224         data[1] = str("%.3g" % Kopt[1])
225         data[2] = str("%.3g" % Kopt[2])
226         box_2.delete(0, END)
227         box_3.delete(0, END)
228         box_2.insert(0, data[1])
229         box_3.insert(0, data[2])
230
231 # Inicia la búsqueda de parámetros DM
232 if search_dm.get():
233     # Creación del espacio de búsqueda (Se divide en dos para evitar la
        convergencia a un mínimo relativo)
234     if search_parasite.get():
235         lb = [lower_bound[1], lower_bound[2], lower_bound[3], (1-delta)*parasite[2],
            (1-delta)*parasite[3]]
236         ub = [upper_bound[1], upper_bound[2], upper_bound[3], (1+delta)*parasite[2],
            (1+delta)*parasite[3]]
237     else:
238         lb = [lower_bound[1], lower_bound[2], lower_bound[3]]
239         ub = [upper_bound[1], upper_bound[2], upper_bound[3]]
240
241     # Optimización
242     Kopt, fopt = pso(cost_function_dm, lb, ub, swarmsize=int(data_opt[0]),
        maxiter=int(data_opt[1]), phip=float(data_opt[2]), phig=float(data_opt[3]),
        omega=float(data_opt[4]), minstep=float(data_opt[5]), debug=True)
243
244     # Actualiza los valores
245     slider_2.set(Kopt[0])
246     slider_3.set(Kopt[1])
247     slider_4.set(Kopt[2])
248     data[15] = str(Kopt[0])
249     data[16] = str(Kopt[1])
250     data[17] = str(Kopt[2])
251

```

```

252     if search_parasite.get():
253         data[4] = str("%.3g" % Kopt[3])
254         data[5] = str("%.3g" % Kopt[4])
255         box_5.delete(0, END)
256         box_6.delete(0, END)
257         box_5.insert(0, data[4])
258         box_6.insert(0, data[5])
259
260     # Guarda los parametros actuales en la ranura 0
261     autoslot = 0
262     save_data()
263
264     # Inicializa las figuras y representa la curva experimental
265     fig_cm, ax_cm = plt.subplots()
266     ax_cm.plot(freqx_cm, s21x_cm, 'o', markevery=4, label=labels[11], color=colors
267                [10])
268     fig_dm, ax_dm = plt.subplots()
269     ax_dm.plot(freqx_dm, s21x_dm, 'o', markevery=4, label=labels[11], color=colors
270                [10])
271
272     # Inicializa la matriz con los puntos
273     txt_cm = [np.transpose(freqx_cm),0,0,0,0,0,0,0,0,0,0]
274     txt_dm = [np.transpose(freqx_dm),0,0,0,0,0,0,0,0,0,0]
275
276     # Resuleve el circuito para las ranuras de memoria seleccionadas
277     for i in plot_index:
278         if i.get():
279             load_data(refresh=0) # Se carga en la posición 0 (Actual)
280             solve_circuit() # Se llama a la función que resuelve el circuito y se
281                             # representa
282             ax_cm.plot(freqx_cm, s21_cm, linewidth=widths[autoslot], color=colors[
283                autoslot], label=labels[autoslot+1])
284             ax_dm.plot(freqx_dm, s21_dm, linewidth=widths[autoslot], color=colors[
285                autoslot], label=labels[autoslot+1])
286             txt_cm[autoslot+1] = np.transpose(s21_cm)
287             txt_dm[autoslot+1] = np.transpose(s21_dm)
288         else:
289             txt_cm[autoslot+1] = np.transpose(np.zeros(len(s21_cm)))
290             txt_dm[autoslot+1] = np.transpose(np.zeros(len(s21_dm)))
291         autoslot = autoslot + 1
292     del autoslot
293     txt_cm = np.transpose(txt_cm)
294     txt_dm = np.transpose(txt_dm)
295
296     # Escribe los puntos en un txt tabulado
297     txt_index = [1]
298     for i in plot_index:
299         txt_index.append(i.get())
300
301     # Puntos CM
302     with open('curve_cm.txt', 'w') as curve:
303         for i in list(range(11)):
304             if txt_index[i]:
305                 curve.write("%s" % labels[i])
306             if i is 10:
307                 curve.write("\n")
308             elif txt_index[i]:

```

```
304     curve.write("\t")
305 for line in txt_cm:
306     for i in list(range(11)):
307         if txt_index[i]:
308             curve.write("%s" % line[i])
309         if i is 10:
310             curve.write("\n")
311         elif txt_index[i]:
312             curve.write("\t")
313
314 # Puntos DM
315 with open('curve_dm.txt', 'w') as curve:
316     for i in list(range(11)):
317         if txt_index[i]:
318             curve.write("%s" % labels[i])
319         if i is 10:
320             curve.write("\n")
321         elif txt_index[i]:
322             curve.write("\t")
323     for line in txt_dm:
324         for i in list(range(11)):
325             if txt_index[i]:
326                 curve.write("%s" % line[i])
327             if i is 10:
328                 curve.write("\n")
329             elif txt_index[i]:
330                 curve.write("\t")
331
332 # Opciones de las curvas CM
333 ax_cm.semilogx()
334 ax_cm.grid(which='both')
335 ax_cm.legend(loc='lower left')
336 ax_cm.set_ylabel('s21 [dB]')
337 ax_cm.set_xlabel('f [Hz]')
338 fig_cm.savefig("./imagenes/s21cm.png")
339 fig_cm.savefig("./imagenes/s21cm.svg")
340
341 # Opciones de las curvas DM
342 ax_dm.semilogx()
343 ax_dm.grid(which="both")
344 ax_dm.legend(loc='lower left')
345 ax_dm.set_ylabel('s21 [dB]')
346 ax_dm.set_xlabel('f [Hz]')
347 fig_dm.savefig("./imagenes/s21dm.png")
348 fig_dm.savefig("./imagenes/s21dm.svg")
349 plt.close('all')
350
351 # Actualizan la gráfica CM
352 global img_2
353 global figure_2
354 figure_2.grid_forget()
355 img_2 = Image.open("./imagenes/s21cm.png")
356 img_2 = img_2.resize((400, 236), Image.ANTIALIAS)
357 img_2 = ImageTk.PhotoImage(img_2)
358 figure_2 = Label(frame_3, image=img_2)
359 figure_2.grid(row=0, column=0, columnspan=2)
360
```

```
361 # Actualiza la gráfica DM
362 global img_3
363 global figure_3
364 figure_3.grid_forget()
365 img_3 = Image.open("./imagenes/s21dm.png")
366 img_3 = img_3.resize((400, 236), Image.ANTIALIAS)
367 img_3 = ImageTk.PhotoImage(img_3)
368 figure_3 = Label(frame_4, image=img_3)
369 figure_3.grid(row=0, column=0, columnspan=2)
370
371
372
373
374
375 def ask_file(mode):
376 # Obtiene el fichero donde con los datos experimentales
377 try:
378     filename = filedialog.askopenfilename(filetypes=[("Text files", "*.txt")])
379 except:
380     filename = filedialog.askopenfilename()
381 if filename is "":
382     return
383 ask = Toplevel()
384 field_freq = Label(ask, text="Frecuencia:")
385 field_mod = Label(ask, text="Módulo:")
386 box_freq = Entry(ask, width=2, borderwidth=4)
387 box_mod = Entry(ask, width=2, borderwidth=4)
388 ok_button = Button(ask, text="Ok", command=lambda: get_index(ask, box_freq,
389     box_mod, filename, mode))
389 field_freq.grid(row=0, column=0, padx=10, sticky=W)
390 field_mod.grid(row=1, column=0, padx=10, sticky=W)
391 box_freq.grid(row=0, column=1, padx=10)
392 box_mod.grid(row=1, column=1, padx=10)
393 ok_button.grid(row=2, column=0, columnspan=2, padx=10, pady=10, sticky=E)
394
395
396
397
398
399 def get_index(ask, box_freq, box_mod, filename, mode):
400 # Obtiene el índice de las columnas con datos
401 global index_freq
402 global index_mod
403
404 index_freq = int(box_freq.get())
405 index_mod = int(box_mod.get())
406 ask.destroy()
407 load_file(filename, mode)
408
409
410
411
412
413 def load_file(filename, mode):
414 # Lee los datos experimentales
415 global s21x_cm
416 global s21x_dm
```

```
417 global freqx_cm
418 global freqx_dm
419
420 x=[]
421 y=[]
422 fdata = open(filename,'r')
423 for linea in fdata:
424     line = linea.split()
425     if line: # Si no es linea vacia
426         try:
427             xfloat=float(line[index_freq])
428             x.append(xfloat)
429             y.append(float(line[index_mod]))
430         except:
431             pass
432 fdata.close()
433 if mode is "cm":
434     s21x_cm = np.array(y)
435     freqx_cm = np.array(x)
436 if mode is "dm":
437     s21x_dm = np.array(y)
438     freqx_dm = np.array(x)
439
440
441
442
443
444 def save_image(mode, name, top, svg_enable, txt_enable, mem_enable):
445     # Guarda la gráfica en .svg
446     new_path = filedialog.askdirectory()
447     if new_path is "":
448         return
449     if mode is "cm":
450         if svg_enable.get():
451             shutil.copy("./imagenes/s21cm.svg", new_path+"/"+name.get()+".svg")
452         if txt_enable.get():
453             shutil.copy("./curve_cm.txt", new_path+"/"+name.get()+".txt")
454     if mode is "dm":
455         if svg_enable.get():
456             shutil.copy("./imagenes/s21dm.svg", new_path+"/"+name.get()+".svg")
457         if txt_enable.get():
458             shutil.copy("./curve_dm.txt", new_path+"/"+name.get()+".txt")
459     if mem_enable.get():
460         shutil.copy("./memory.txt", new_path+"/"+name.get()+"_memory.txt")
461     top.destroy()
462
463
464
465
466
467 def view_figure(mode):
468     # Amplia la figura y muestra opciones de guardado
469     global large_img
470
471     # Abre la imagen en una ventana nueva
472     top = Toplevel()
473     if mode is "cm":
```

```

474     large_img = ImageTk.PhotoImage(Image.open("./imagenes/s21cm.png"))
475     large_figure = Label(top, image=large_img)
476     if mode is "dm":
477         large_img = ImageTk.PhotoImage(Image.open("./imagenes/s21dm.png"))
478         large_figure = Label(top, image=large_img)
479
480     # Botonera con opciones de guardado
481     svg_enable = IntVar()
482     svg_button = Checkbutton(top, text=".svg", variable=svg_enable)
483     svg_button.select()
484     txt_enable = IntVar()
485     txt_button = Checkbutton(top, text=".txt", variable=txt_enable)
486     txt_button.select()
487     mem_enable = IntVar()
488     mem_button = Checkbutton(top, text="Memoria", variable=mem_enable)
489     name = Entry(top, width=35, borderwidth=4)
490     name.insert(0, "Nombre")
491     save_button = Button(top, text="Guardar", command=lambda: save_image(mode,name
        ,top,svg_enable,txt_enable,mem_enable))
492
493     # Posicionamiento en pantalla
494     large_figure.grid(row=0, column=0, columnspan=5, padx=10, pady=10)
495     svg_button.grid(row=1, column=1, padx=10, sticky=W)
496     txt_button.grid(row=1, column=2, padx=10, sticky=W)
497     mem_button.grid(row=1, column=3, padx=10, sticky=W)
498     name.grid(row=1, column=0, padx=10, pady=10, sticky=W)
499     save_button.grid(row=1, column=4, padx=10, pady=10, sticky=E)
500
501
502
503
504
505     def show_options():
506     # Abre el panel con las opciones
507         global opt
508         global box_memory_1
509         global box_memory_2
510         global box_search_1
511         global box_search_2
512         global box_search_3
513         global box_search_4
514         global box_search_5
515         global box_search_6
516         global plot_index
517         global plot_name_0
518         global plot_name_1
519         global plot_name_2
520         global plot_name_3
521         global plot_name_4
522         global plot_name_5
523         global plot_name_6
524         global plot_name_7
525         global plot_name_8
526         global plot_name_9
527         global plot_name_exp
528         global plot_color_0
529         global plot_color_1

```

```
530 global plot_color_2
531 global plot_color_3
532 global plot_color_4
533 global plot_color_5
534 global plot_color_6
535 global plot_color_7
536 global plot_color_8
537 global plot_color_9
538 global plot_color_exp
539 global plot_width_0
540 global plot_width_1
541 global plot_width_2
542 global plot_width_3
543 global plot_width_4
544 global plot_width_5
545 global plot_width_6
546 global plot_width_7
547 global plot_width_8
548 global plot_width_9
549 global bound_1
550 global bound_2
551 global bound_3
552 global bound_4
553 global bound_5
554 global bound_6
555 global bound_7
556 global bound_8
557 global search_parasite
558 global auto_parasite_delta
559
560 # Abre una nueva ventana
561 opt = Toplevel()
562
563 # Pestaña de opciones de memoria
564 frame_memory = LabelFrame(opt, text="Memoria", padx=20, pady=20)
565 memory_1 = Label(frame_memory, text="Cargar posición")
566 memory_2 = Label(frame_memory, text="Guardar en posición")
567 box_memory_1 = Entry(frame_memory, width=1, borderwidth=4)
568 box_memory_2 = Entry(frame_memory, width=1, borderwidth=4)
569 load_button = Button(frame_memory, text="Ok", command=lambda:load_data(refresh
    =1))
570 save_button = Button(frame_memory, text="Ok", command=save_data)
571 spacer_memory = Label(frame_memory, text="")
572 import_button = Button(frame_memory, text="Importar memoria", command=
    import_memory)
573 reset_button = Button(frame_memory, text="Reset", command=reset_memory)
574
575 # Pestaña de opciones de búsqueda
576 frame_search = LabelFrame(opt, text="Algoritmo de búsqueda", padx=20, pady=20)
577 search_1 = Label(frame_search, text="swarmsize")
578 search_2 = Label(frame_search, text="maxiter")
579 search_3 = Label(frame_search, text="phip")
580 search_4 = Label(frame_search, text="phig")
581 search_5 = Label(frame_search, text="omega")
582 search_6 = Label(frame_search, text="minstep")
583 search_7 = Label(frame_search, text="Espacio de búsqueda")
584 search_8 = Label(frame_search, text="Kycm")
```

```

585 search_9 = Label(frame_search, text="Kydm")
586 search_10 = Label(frame_search, text="Kxdm")
587 search_11 = Label(frame_search, text="Kcy")
588
589 if 'data_opt' in globals(): # Toma valores existentes o los genera
590     default_data = data_opt
591 else:
592     default_data = ['60', '30', '0.3', '0.3', '0.3', '1e-8']
593
594 box_search_1 = Entry(frame_search, width=8, borderwidth=4)
595 box_search_2 = Entry(frame_search, width=8, borderwidth=4)
596 box_search_3 = Entry(frame_search, width=8, borderwidth=4)
597 box_search_4 = Entry(frame_search, width=8, borderwidth=4)
598 box_search_5 = Entry(frame_search, width=8, borderwidth=4)
599 box_search_6 = Entry(frame_search, width=8, borderwidth=4)
600 box_search_1.insert(0, default_data[0])
601 box_search_2.insert(0, default_data[1])
602 box_search_3.insert(0, default_data[2])
603 box_search_4.insert(0, default_data[3])
604 box_search_5.insert(0, default_data[4])
605 box_search_6.insert(0, default_data[5])
606
607 spacer_search = Label(frame_search, text="")
608 bound_1 = Entry(frame_search, width=8, borderwidth=4)
609 bound_2 = Entry(frame_search, width=8, borderwidth=4)
610 bound_3 = Entry(frame_search, width=8, borderwidth=4)
611 bound_4 = Entry(frame_search, width=8, borderwidth=4)
612 bound_5 = Entry(frame_search, width=8, borderwidth=4)
613 bound_6 = Entry(frame_search, width=8, borderwidth=4)
614 bound_7 = Entry(frame_search, width=8, borderwidth=4)
615 bound_8 = Entry(frame_search, width=8, borderwidth=4)
616
617 bound_1.insert(0, str/slider_1.get()-0.05)) # Toma los valores de pantalla
        con un margen
618 bound_2.insert(0, str/slider_2.get()-0.05))
619 bound_3.insert(0, str/slider_3.get()-0.05))
620 bound_4.insert(0, str/slider_4.get()-0.05))
621 bound_5.insert(0, str/slider_1.get()+0.05))
622 bound_6.insert(0, str/slider_2.get()+0.05))
623 bound_7.insert(0, str/slider_3.get()+0.05))
624 bound_8.insert(0, str/slider_4.get()+0.05))
625
626 # Variación de los efectos parásitos en %
627 if 'delta' in globals(): #Toma el valor existente o lo genera
628     default_delta = str(delta*100)
629 else:
630     default_delta = '20'
631 search_parasite = IntVar()
632 auto_parasite_button = Checkbutton(frame_search, text="Variación de parásitos
        (%)", variable=search_parasite)
633 auto_parasite_delta = Entry(frame_search, width=4, borderwidth=4)
634 auto_parasite_delta.insert(0, default_delta)
635
636 # Pestaña de opciones de representación
637 frame_plot = LabelFrame(opt, text="Gráficas", padx=20, pady=20)
638 plot_index = [] # Crea variable para seleccionar/deseleccionar gráficas
639 for i in list(range(10)):

```

```
640 plot_index.append(IntVar())
641 plot_1 = Label(frame_plot, text="")
642 plot_index_0 = Checkbutton(frame_plot, text="0",variable=plot_index[0])
643 plot_index_1 = Checkbutton(frame_plot, text="1",variable=plot_index[1])
644 plot_index_2 = Checkbutton(frame_plot, text="2",variable=plot_index[2])
645 plot_index_3 = Checkbutton(frame_plot, text="3",variable=plot_index[3])
646 plot_index_4 = Checkbutton(frame_plot, text="4",variable=plot_index[4])
647 plot_index_5 = Checkbutton(frame_plot, text="5",variable=plot_index[5])
648 plot_index_6 = Checkbutton(frame_plot, text="6",variable=plot_index[6])
649 plot_index_7 = Checkbutton(frame_plot, text="7",variable=plot_index[7])
650 plot_index_8 = Checkbutton(frame_plot, text="8",variable=plot_index[8])
651 plot_index_9 = Checkbutton(frame_plot, text="9",variable=plot_index[9])
652 plot_index_0.select()
653
654 if 'labels' in globals(): # Toma valores existentes o los genera
655     default_name = labels
656 else:
657     default_name = ['Freq','Actual','Mem1','Mem2','Mem3','Mem4','Mem5','Mem6','
658                   Mem7','Mem8','Mem9','Experimental']
659
660 plot_2 = Label(frame_plot, text="Nombre")
661 plot_name_0 = Entry(frame_plot, width=10, borderwidth=4)
662 plot_name_1 = Entry(frame_plot, width=10, borderwidth=4)
663 plot_name_2 = Entry(frame_plot, width=10, borderwidth=4)
664 plot_name_3 = Entry(frame_plot, width=10, borderwidth=4)
665 plot_name_4 = Entry(frame_plot, width=10, borderwidth=4)
666 plot_name_5 = Entry(frame_plot, width=10, borderwidth=4)
667 plot_name_6 = Entry(frame_plot, width=10, borderwidth=4)
668 plot_name_7 = Entry(frame_plot, width=10, borderwidth=4)
669 plot_name_8 = Entry(frame_plot, width=10, borderwidth=4)
670 plot_name_9 = Entry(frame_plot, width=10, borderwidth=4)
671 plot_name_exp = Entry(frame_plot, width=10, borderwidth=4)
672 plot_name_0.insert(0,default_name[1])
673 plot_name_1.insert(0,default_name[2])
674 plot_name_2.insert(0,default_name[3])
675 plot_name_3.insert(0,default_name[4])
676 plot_name_4.insert(0,default_name[5])
677 plot_name_5.insert(0,default_name[6])
678 plot_name_6.insert(0,default_name[7])
679 plot_name_7.insert(0,default_name[8])
680 plot_name_8.insert(0,default_name[9])
681 plot_name_9.insert(0,default_name[10])
682 plot_name_exp.insert(0,default_name[11])
683
684 if 'colors' in globals(): # Toma valores existentes o los genera
685     default_color = colors
686 else:
687     default_color = ['#DA7C30','#3E9651','#CC2529','#535154','#6B4C9A','#922428',
688                   '#948B3D','#FFFF00','#FF00FF','#00FFFF','#396AB1']
689
690 plot_3 = Label(frame_plot, text="Color")
691 plot_color_0 = Entry(frame_plot, width=8, borderwidth=4)
692 plot_color_1 = Entry(frame_plot, width=8, borderwidth=4)
693 plot_color_2 = Entry(frame_plot, width=8, borderwidth=4)
694 plot_color_3 = Entry(frame_plot, width=8, borderwidth=4)
695 plot_color_4 = Entry(frame_plot, width=8, borderwidth=4)
696 plot_color_5 = Entry(frame_plot, width=8, borderwidth=4)
```

```

695 plot_color_6 = Entry(frame_plot, width=8, borderwidth=4)
696 plot_color_7 = Entry(frame_plot, width=8, borderwidth=4)
697 plot_color_8 = Entry(frame_plot, width=8, borderwidth=4)
698 plot_color_9 = Entry(frame_plot, width=8, borderwidth=4)
699 plot_color_exp = Entry(frame_plot, width=8, borderwidth=4)
700 plot_color_0.insert(0,default_color[0])
701 plot_color_1.insert(0,default_color[1])
702 plot_color_2.insert(0,default_color[2])
703 plot_color_3.insert(0,default_color[3])
704 plot_color_4.insert(0,default_color[4])
705 plot_color_5.insert(0,default_color[5])
706 plot_color_6.insert(0,default_color[6])
707 plot_color_7.insert(0,default_color[7])
708 plot_color_8.insert(0,default_color[8])
709 plot_color_9.insert(0,default_color[9])
710 plot_color_exp.insert(0,default_color[10])
711
712 if 'widths' in globals(): # Toma valores existentes o los genera
713     default_width = widths
714 else:
715
716     default_width = [3,3,3,3,3,3,3,3,3,3]
717 plot_4 = Label(frame_plot, text="Grosor")
718 plot_width_0 = Entry(frame_plot, width=2, borderwidth=4)
719 plot_width_1 = Entry(frame_plot, width=2, borderwidth=4)
720 plot_width_2 = Entry(frame_plot, width=2, borderwidth=4)
721 plot_width_3 = Entry(frame_plot, width=2, borderwidth=4)
722 plot_width_4 = Entry(frame_plot, width=2, borderwidth=4)
723 plot_width_5 = Entry(frame_plot, width=2, borderwidth=4)
724 plot_width_6 = Entry(frame_plot, width=2, borderwidth=4)
725 plot_width_7 = Entry(frame_plot, width=2, borderwidth=4)
726 plot_width_8 = Entry(frame_plot, width=2, borderwidth=4)
727 plot_width_9 = Entry(frame_plot, width=2, borderwidth=4)
728 plot_width_0.insert(0,default_width[0])
729 plot_width_1.insert(0,default_width[1])
730 plot_width_2.insert(0,default_width[2])
731 plot_width_3.insert(0,default_width[3])
732 plot_width_4.insert(0,default_width[4])
733 plot_width_5.insert(0,default_width[5])
734 plot_width_6.insert(0,default_width[6])
735 plot_width_7.insert(0,default_width[7])
736 plot_width_8.insert(0,default_width[8])
737 plot_width_9.insert(0,default_width[9])
738
739 # Botón aplicar para guardar opciones
740 aply_button = Button(opt, text="Aplicar", command=save_options)
741
742 # Posicionamiento en pantalla
743
744 # Pestaña de opciones de memoria
745 frame_memory.grid(row=0, column=0, padx=20, pady=20)
746 memory_1.grid(row=0, column=0, sticky=W)
747 memory_2.grid(row=1, column=0, sticky=W)
748 box_memory_1.grid(row=0, column=1, sticky=W)
749 box_memory_2.grid(row=1, column=1, sticky=W)
750 load_button.grid(row=0, column=2, sticky=W)
751 save_button.grid(row=1, column=2, sticky=W)

```

```
752 spacer_memory.grid(row=0, column=3, padx=55)
753 import_button.grid(row=0, column=5, sticky=E)
754 reset_button.grid(row=1, column=5, sticky=E)
755
756 # Pestaña de opciones de búsqueda
757 frame_search.grid(row=1, column=0, padx=20, pady=20)
758 search_1.grid(row=0, column=0, padx=10, sticky=W)
759 search_2.grid(row=1, column=0, padx=10, sticky=W)
760 search_3.grid(row=2, column=0, padx=10, sticky=W)
761 search_4.grid(row=3, column=0, padx=10, sticky=W)
762 search_5.grid(row=4, column=0, padx=10, sticky=W)
763 search_6.grid(row=5, column=0, padx=10, sticky=W)
764 search_7.grid(row=0, column=3, columnspan=3, padx=10, sticky=W)
765 search_8.grid(row=1, column=3, padx=10, sticky=W)
766 search_9.grid(row=2, column=3, padx=10, sticky=W)
767 search_10.grid(row=3, column=3, padx=10, sticky=W)
768 search_11.grid(row=4, column=3, padx=10, sticky=W)
769
770 box_search_1.grid(row=0, column=1)
771 box_search_2.grid(row=1, column=1)
772 box_search_3.grid(row=2, column=1)
773 box_search_4.grid(row=3, column=1)
774 box_search_5.grid(row=4, column=1)
775 box_search_6.grid(row=5, column=1)
776
777 spacer_search.grid(row=5, column=2, rowspan=6, padx=20)
778 bound_1.grid(row=1, column=4)
779 bound_2.grid(row=2, column=4)
780 bound_3.grid(row=3, column=4)
781 bound_4.grid(row=4, column=4)
782 bound_5.grid(row=1, column=5)
783 bound_6.grid(row=2, column=5)
784 bound_7.grid(row=3, column=5)
785 bound_8.grid(row=4, column=5)
786
787 auto_parasite_button.grid(row=5, column=3, columnspan=2, sticky=E)
788 auto_parasite_delta.grid(row=5, column=5, sticky=E)
789
790 # Pestaña de opciones de representación
791 frame_plot.grid(row=0, column=1, padx=20, pady=20, rowspan=2)
792 plot_1.grid(row=0, column=0)
793 plot_index_0.grid(row=1, column=0, padx=5)
794 plot_index_1.grid(row=2, column=0)
795 plot_index_2.grid(row=3, column=0)
796 plot_index_3.grid(row=4, column=0)
797 plot_index_4.grid(row=5, column=0)
798 plot_index_5.grid(row=6, column=0)
799 plot_index_6.grid(row=7, column=0)
800 plot_index_7.grid(row=8, column=0)
801 plot_index_8.grid(row=9, column=0)
802 plot_index_9.grid(row=10, column=0)
803
804 plot_2.grid(row=0, column=1, pady=5)
805 plot_name_0.grid(row=1, column=1)
806 plot_name_1.grid(row=2, column=1)
807 plot_name_2.grid(row=3, column=1)
808 plot_name_3.grid(row=4, column=1)
```

```
809 plot_name_4.grid(row=5, column=1)
810 plot_name_5.grid(row=6, column=1)
811 plot_name_6.grid(row=7, column=1)
812 plot_name_7.grid(row=8, column=1)
813 plot_name_8.grid(row=9, column=1)
814 plot_name_9.grid(row=10, column=1)
815 plot_name_exp.grid(row=11, column=1)
816
817 plot_3.grid(row=0, column=2)
818 plot_color_0.grid(row=1, column=2)
819 plot_color_1.grid(row=2, column=2)
820 plot_color_2.grid(row=3, column=2)
821 plot_color_3.grid(row=4, column=2)
822 plot_color_4.grid(row=5, column=2)
823 plot_color_5.grid(row=6, column=2)
824 plot_color_6.grid(row=7, column=2)
825 plot_color_7.grid(row=8, column=2)
826 plot_color_8.grid(row=9, column=2)
827 plot_color_9.grid(row=10, column=2)
828 plot_color_exp.grid(row=11, column=2)
829
830 plot_4.grid(row=0, column=3)
831 plot_width_0.grid(row=1, column=3)
832 plot_width_1.grid(row=2, column=3)
833 plot_width_2.grid(row=3, column=3)
834 plot_width_3.grid(row=4, column=3)
835 plot_width_4.grid(row=5, column=3)
836 plot_width_5.grid(row=6, column=3)
837 plot_width_6.grid(row=7, column=3)
838 plot_width_7.grid(row=8, column=3)
839 plot_width_8.grid(row=9, column=3)
840 plot_width_9.grid(row=10, column=3)
841
842 # Botón aplicar
843 apply_button.grid(row=2, column=1, padx=20, pady=20, sticky=E)
844
845
846
847
848
849 def save_data():
850     # Guarda el valor de data en una posición de la memoria
851     global data
852
853     data = [box_1.get(), box_2.get(), box_3.get(), box_4.get(), box_5.get(),
            box_6.get(), box_7.get(), box_8.get(), box_9.get(), box_10.get(), box_11.
            get(), box_12.get(), box_13.get(), box_14.get(), str/slider_1.get(), str(
            slider_2.get()), str/slider_3.get()), str/slider_4.get())]
854
855     memory = open('memory.txt', 'r') # Primero lee la memoria
856     if 'autoslot' in globals():
857         slot = autoslot
858     else:
859         slot = int(box_memory_2.get())
860     new_memory = []
861     count = 0
862     for line in memory:
```

```
863 element = line.split('\t')
864 element[slot] = str(data[count])
865 new_memory.append(element)      # Genera una nueva lista de parámetros
866 count = count + 1
867 memory.close()
868
869 with open('memory.txt', 'w') as mem:
870     for line in new_memory:
871         for i in list(range(10)):
872             mem.write("%s\t" % line[i])    # Sobreescribe la nueva memoria
873         mem.write("\n")
874
875
876
877
878
879 def load_data(refresh=1):
880     # Lee el valor de data de una posición de la memoria
881     global data
882
883     data = []
884     memory = open('memory.txt', 'r')
885     if 'autoslot' in globals():
886         slot = autoslot
887     else:
888         slot = int(box_memory_1.get())
889     for line in memory:
890         elements = line.split('\t')
891         data.append(elements[slot])
892
893     if refresh:          # Para cargar datos en pantalla refresh = 1
894         box_1.delete(0, END)
895         box_2.delete(0, END)
896         box_3.delete(0, END)
897         box_4.delete(0, END)
898         box_5.delete(0, END)
899         box_6.delete(0, END)
900         box_7.delete(0, END)
901         box_8.delete(0, END)
902         box_9.delete(0, END)
903         box_10.delete(0, END)
904         box_11.delete(0, END)
905         box_12.delete(0, END)
906         box_13.delete(0, END)
907         box_14.delete(0, END)
908
909         box_1.insert(0, data[0])
910         box_2.insert(0, data[1])
911         box_3.insert(0, data[2])
912         box_4.insert(0, data[3])
913         box_5.insert(0, data[4])
914         box_6.insert(0, data[5])
915         box_7.insert(0, data[6])
916         box_8.insert(0, data[7])
917         box_9.insert(0, data[8])
918         box_10.insert(0, data[9])
919         box_11.insert(0, data[10])
```

```
920     box_12.insert(0, data[11])
921     box_13.insert(0, data[12])
922     box_14.insert(0, data[13])
923
924     slider_1.set(data[14])
925     slider_2.set(data[15])
926     slider_3.set(data[16])
927     slider_4.set(data[17])
928
929
930
931
932
933 def import_memory():
934     # Cambia la memoria por el txt elegido (una memoria exportada previamente)
935
936     try:
937         filename = filedialog.askopenfilename(filetypes=[("Text files", "*.txt")])
938     except:
939         filename = filedialog.askopenfilename()
940     if filename is "":
941         return
942     shutil.copy(filename, "./memory.txt")
943
944
945
946
947
948 def reset_memory():
949     # Sobreescribe la memoria con zeros en todas sus posiciones
950
951     with open('memory.txt', 'w') as mem:
952         for i in list(range(18)):
953             for j in list(range(10)):
954                 mem.write("0\t")    # Sobreescribe la nueva memoria
955                 mem.write("\n")
956
957
958
959
960
961 def save_options():
962     # Guarda las opciones y cierra el panel
963     global data_opt
964     global labels
965     global colors
966     global widths
967     global upper_bound
968     global lower_bound
969     global delta
970
971     data_opt = [box_search_1.get(), box_search_2.get(), box_search_3.get(),
972                box_search_4.get(), box_search_5.get(), box_search_6.get()]
973
974     labels = ['Freq', plot_name_0.get(), plot_name_1.get(), plot_name_2.get(),
975              plot_name_3.get(), plot_name_4.get(), plot_name_5.get(), plot_name_6.get(),
```

```

    plot_name_7.get(), plot_name_8.get(), plot_name_9.get(), plot_name_exp.get
    ())]
974
975 colors = [plot_color_0.get(), plot_color_1.get(), plot_color_2.get(),
    plot_color_3.get(), plot_color_4.get(), plot_color_5.get(), plot_color_6.
    get(), plot_color_7.get(), plot_color_8.get(), plot_color_9.get(),
    plot_color_exp.get()]
976
977 widths = [plot_width_0.get(), plot_width_1.get(), plot_width_2.get(),
    plot_width_3.get(), plot_width_4.get(), plot_width_5.get(), plot_width_6.
    get(), plot_width_7.get(), plot_width_8.get(), plot_width_9.get()]
978
979 lower_bound = [float(bound_1.get()), float(bound_2.get()), float(bound_3.get())
    ], float(bound_4.get())]
980 upper_bound = [float(bound_5.get()), float(bound_6.get()), float(bound_7.get())
    ], float(bound_8.get())]
981
982 delta = float(auto_parasite_delta.get())/100
983
984 opt.destroy()
985
986
987
988
989
990 # Inicio de la ventana principal
    #####
991
992 root = Tk()
993 root.title("Analizador de filtros")
994
995 # Botones de ayuda y resolución
996 help_button = Button(root, text="Ayuda", command=show_help)
997 option_button = Button(root, text="Opciones", command=show_options)
998 solve_button = Button(root, text="Calcula", width=30, command=solve_main)
999
1000
1001 ## Frame 1: Modelo
1002 frame_1 = LabelFrame(root, text="Modelo", padx=20, pady=20)
1003
1004 # Imagen del crcuito
1005 img_1 = Image.open("./imagenes/model.png")
1006 img_1 = img_1.resize((308, 264), Image.ANTIALIAS)
1007 img_1 = ImageTk.PhotoImage(img_1)
1008 figure_1 = Label(frame_1, image=img_1)
1009
1010 # Parametros del modelo (conocidos a priori)
1011 field_1 = Label(frame_1, text="Cy:")
1012 field_2 = Label(frame_1, text="Ly:")
1013 field_3 = Label(frame_1, text="Ry:")
1014 field_4 = Label(frame_1, text="Cx:")
1015 field_5 = Label(frame_1, text="Lx:")
1016 field_6 = Label(frame_1, text="Rx:")
1017 field_7 = Label(frame_1, text="Rs:")
1018 field_8 = Label(frame_1, text="Lcm:")
1019 field_9 = Label(frame_1, text="Ldm:")
1020 field_10 = Label(frame_1, text="Cw:")

```

```
1021 field_11 = Label(frame_1, text="Ct:")
1022 field_12 = Label(frame_1, text="RN1:")
1023 field_13 = Label(frame_1, text="RN2:")
1024 field_14 = Label(frame_1, text="Rl:")
1025
1026 # Entradas de los parámetros
1027 box_1 = Entry(frame_1, width=8, borderwidth=4)
1028 box_2 = Entry(frame_1, width=8, borderwidth=4)
1029 box_3 = Entry(frame_1, width=8, borderwidth=4)
1030 box_4 = Entry(frame_1, width=8, borderwidth=4)
1031 box_5 = Entry(frame_1, width=8, borderwidth=4)
1032 box_6 = Entry(frame_1, width=8, borderwidth=4)
1033 box_7 = Entry(frame_1, width=8, borderwidth=4)
1034 box_8 = Entry(frame_1, width=8, borderwidth=4)
1035 box_9 = Entry(frame_1, width=8, borderwidth=4)
1036 box_10 = Entry(frame_1, width=8, borderwidth=4)
1037 box_11 = Entry(frame_1, width=8, borderwidth=4)
1038 box_12 = Entry(frame_1, width=8, borderwidth=4)
1039 box_13 = Entry(frame_1, width=8, borderwidth=4)
1040 box_14 = Entry(frame_1, width=8, borderwidth=4)
1041
1042
1043 ## Frame 2: Acoplamientos
1044 frame_2 = LabelFrame(root, text="Acoplos", padx=20, pady=20)
1045
1046 # Botón auto: para calcular o no automáticamente los valores
1047 search_cm = IntVar()
1048 auto_label = Label(frame_2, text="Calcular automáticamente:")
1049 auto_cm_button = Checkbutton(frame_2, text="Valores de CM", variable=search_cm)
1050 search_dm = IntVar()
1051 auto_dm_button = Checkbutton(frame_2, text="Valores de DM", variable=search_dm)
1052
1053 # Acoplamientos
1054 field_15 = Label(frame_2, text="Kycm:")
1055 field_16 = Label(frame_2, text="Kydm:")
1056 field_17 = Label(frame_2, text="Kxdm:")
1057 field_18 = Label(frame_2, text="Kxy:")
1058
1059 # Valores de los acoplamientos
1060 slider_1 = Scale(frame_2, from_=-1, to=1, resolution=0.0001, orient=HORIZONTAL,
1061                 length=506)
1061 slider_2 = Scale(frame_2, from_=-1, to=1, resolution=0.0001, orient=HORIZONTAL,
1062                 length=506)
1062 slider_3 = Scale(frame_2, from_=-1, to=1, resolution=0.0001, orient=HORIZONTAL,
1063                 length=506)
1063 slider_4 = Scale(frame_2, from_=-1, to=1, resolution=0.0001, orient=HORIZONTAL,
1064                 length=506)
1064
1065
1066
1067 ## Frame 3: Gráfica de la respuesta en modo común
1068 frame_3 = LabelFrame(root, text="S21 modo común", padx=20, pady=20)
1069 img_2 = Image.open("./imagenes/spacer.png")
1070 img_2 = img_2.resize((400, 236), Image.ANTIALIAS)
1071 img_2 = ImageTk.PhotoImage(img_2)
1072 figure_2 = Label(frame_3, image=img_2)
```

```
1073 file_button_1 = Button(frame_3, text="Insertar datos", command=lambda: ask_file
      ("cm"))
1074 view_button_1 = Button(frame_3, text="Ver", command=lambda: view_figure("cm"))
1075
1076
1077
1078 ## Frame 4: Gráfica de la respuesta en modo diferencial
1079 frame_4 = LabelFrame(root, text="S21 modo diferencial", padx=20, pady=20)
1080 img_3 = Image.open("./imagenes/spacer.png")
1081 img_3 = img_3.resize((400, 236), Image.ANTIALIAS)
1082 img_3 = ImageTk.PhotoImage(img_3)
1083 figure_3 = Label(frame_4, image=img_3)
1084 file_button_2 = Button(frame_4, text="Insertar datos", command=lambda: ask_file
      ("dm"))
1085 view_button_2 = Button(frame_4, text="Ver", command=lambda: view_figure("dm"))
1086
1087
1088
1089
1090
1091 # Posicionamiento en la ventana
      #####3
1092
1093 # Botones
1094 help_button.grid(row=2, column=0, padx=10, pady=10, sticky=W)
1095 option_button.grid(row=2, column=1, padx=10, pady=10, sticky=W)
1096 solve_button.grid(row=2, column=2, padx=10, pady=10, sticky=E)
1097
1098 # Frame 1
1099 frame_1.grid(row=0, column=0, padx=10, pady=10, columnspan=3, sticky=N)
1100
1101 figure_1.grid(row=0, column=0, rowspan=8, columnspan=2)
1102
1103 field_1.grid(row=0, column=2)
1104 field_2.grid(row=1, column=2)
1105 field_3.grid(row=2, column=2)
1106 field_4.grid(row=3, column=2)
1107 field_5.grid(row=4, column=2)
1108 field_6.grid(row=5, column=2)
1109 field_7.grid(row=6, column=2)
1110 field_8.grid(row=0, column=4)
1111 field_9.grid(row=1, column=4)
1112 field_10.grid(row=2, column=4)
1113 field_11.grid(row=3, column=4)
1114 field_12.grid(row=4, column=4)
1115 field_13.grid(row=5, column=4)
1116 field_14.grid(row=6, column=4)
1117
1118 box_1.grid(row=0, column=3, pady=4)
1119 box_2.grid(row=1, column=3)
1120 box_3.grid(row=2, column=3)
1121 box_4.grid(row=3, column=3)
1122 box_5.grid(row=4, column=3)
1123 box_6.grid(row=5, column=3)
1124 box_7.grid(row=6, column=3)
1125 box_8.grid(row=0, column=5)
1126 box_9.grid(row=1, column=5)
```

```
1127 box_10.grid(row=2, column=5)
1128 box_11.grid(row=3, column=5)
1129 box_12.grid(row=4, column=5)
1130 box_13.grid(row=5, column=5)
1131 box_14.grid(row=6, column=5)
1132
1133 # Frame 2
1134 frame_2.grid(row=1, column=0, padx=10, pady=10, colspan=3, sticky=N)
1135
1136 auto_label.grid(row=0, column=0, colspan=2, pady=10, sticky=W)
1137 auto_cm_button.grid(row=0, column=2, sticky=E)
1138 auto_dm_button.grid(row=0, column=3, sticky=E)
1139
1140 field_15.grid(row=1, column=0, pady=3)
1141 field_16.grid(row=2, column=0, pady=3)
1142 field_17.grid(row=3, column=0, pady=3)
1143 field_18.grid(row=4, column=0, pady=3)
1144
1145 slider_1.grid(row=1, column=1, colspan=3, pady=3)
1146 slider_2.grid(row=2, column=1, colspan=3, pady=3)
1147 slider_3.grid(row=3, column=1, colspan=3, pady=3)
1148 slider_4.grid(row=4, column=1, colspan=3, pady=3)
1149
1150 # Frame 3
1151 frame_3.grid(row=0, column=3, padx=10, pady=10, colspan=2)
1152 figure_2.grid(row=0, column=0, colspan=2)
1153 file_button_1.grid(row=1, column=0, sticky=W)
1154 view_button_1.grid(row=1, column=1, sticky=E)
1155
1156 # frame 4
1157 frame_4.grid(row=1, column=3, padx=10, pady=10, colspan=2, rowspan=2)
1158 figure_3.grid(row=0, column=0, colspan=2)
1159 file_button_2.grid(row=1, column=0, sticky=W)
1160 view_button_2.grid(row=1, column=1, sticky=E)
1161
1162 root.mainloop() # Mantiene la ventana abierta
```